

مهندسی شبکه های عصبی توسعه اتوماتاتهای یادگیر:

تعیین اندازه مطلوب برای شبکه های عصبی سه لایه

## محمد رضا میبدی

دانشکده مهندسی کامپیوٹر

دانشگاه صنعتی امیرکبیر

تهران، ایران

### چکیده

حدف زیرمحدودی شبکه های عصبی بررسی مایه و زاید شبکه های عصبی مصنوعی و رایه روشنایی برای بهمود کاری آغاز شده است. یکی از موضوعات مورد برخوردها محدودیت های عصبی چندلایه، یا تقریباً ساختار مخصوص از دیگر بهمودیه ایرانی حل مسلمانیده است. معملاً روند چهار انتخاب اسازه محدودیت هایی که معملاً مخصوص از هزاره میباشد، در ورشتهای کلاسیک، طراحی شبکه در ابتدای آموش ساختاری را برای شبکه تعیین شده در حین آموش تغییر میکند. تغییر شبکه شکل آموش میشود. تعیین اسازه شبکه عصبی (تعادل واحد) و لایه های مختلف) تاثیر عده ای بر روش کاری شبکه های عصبی خواهد داشت. طراحی یک شبکه با ساختار بینهایه یک مسئله ذاتاً مستقل است. بهمین جهت بیشتر الگوریتم های ارایه شده برای تعیین ساختار شبکه های عصبی، الگوریتم های تقریبی هستند. این الگوریتم های سمتیان به نفع گروه عده الگوریتم های هوس، الگوریتم های سازنده، الگوریتم های تکاملی و الگوریتم های بر اساس اتوماتاتهایی باگیر تقدیم کرد. تها الگوریتم های ارایه شده براساس اتوماتان یادگیری تعیین اگوریتم بقا نام دارد که توسط یکی و مینی از ایه کردیده است. این الگوریتم یک اتوماتان یادگیر مهاجرت اینها (بعدوان یک استوار جستجوی عمومی) و الگوریتم پالیگیری انتشار خطاب به عنوان اموزش، تعادل واحدی و یعنی یک شبکه سه مولد زیارتگاری انتشارهای میکند و در ضمن اموزش، تعادل واحدی و یعنی یک شبکه سه مولد زیارتگاری انتشارهایی دارای انداره گوچک، بهجیگی اموزش کم و قدرت تعیین بالا (باشد) را برای یک مجموعه از الگوریتم های اموزشی تعیین می نماید. الگوریتم های ارایه شده دارای دو قسمت تعیین تعادل واحدی مخفی موردنیاز و تعیین تعادل و زیارتگاری موردنیاز شبکه می باشند. در یکی از الگوریتم هایی پیشنهادی برای تعیین تعادل و زیارتگاری مهاجرات انسپایر افزایش نعمیم شدکه را هم بینیان خواهد داشت. در دو الگوریتم دیگر تعادل واحدی مخفی پیشوردت صریح تعیین نمی گردد بلکه تعیین تعادل واحدی مخفی از طبق تعیین تعادل و زیارتگاری لایه مختلف انجام میگیرد. اغلب روشهای هزارش شده برای تعیین ساختار شبکه از الگوریتم های کوهنوردی استفاده میکند و مسلک گرفتاری در حلقه محاسبی را دارد. در روش پیشنهادی در این مقاله بدلیل استفاده از روشی جستجوی عمومی، امکان گرفتاری در حلقه های محاسبی ساختارها کاهش می یابد. الگوریتم های ارایه شده روی مسائل متعدد از جمله شناسایی اعماق فراسی و شناسایی اعماق ایکلیپس از مایش شده از طریق شبیه سازی نشان داده شده است که شبکه های تولید شده توسط الگوریتم های پیشنهادی دارای کارایی بالای هستند. همچنین الگوریتم های پیشنهادی با الگوریتم هوس کارزین مقایسه گردیده است. نتایج الگوریتم های پیشنهادی هم از لحاظ ساختار توپولوژی شده، هم از نظر زمان موردنیاز برای تعیین ساختار شبکه عصبی بسیار بهتر از الگوریتم هوس کارزین عمل کردند.

کلمات کلیدی: مهندسی شبکه های عصبی، شبکه های عصبی چندلایه، ساختار شبکه های عصبی، اتوماتاتهای یادگیر مهاجرات اثنا

برای حل مسئله میباشد. در ورشاهای کلاسیک، طراحی شبکه در ابتدای

اموزش ساختاری ابرای شبکه تعیین و سیس شبکه های عصبی

مصنوعی و رایه روشنایی برای بهمود کاری آغاز شده است. یکی از موضوعات مورد

تعیین شده در جنین آموش تابشگاه ادایه میشود. تعیین تعداد

واحدی از شبکه های عصبی چندلایه یافتن ساختار مناسب (از دیگر بهمود)

### ۱- مقدمه

هدف از مهندسی شبکه های عصبی بررسی مایه و زاید شبکه های عصبی

الگوریتم از یک اتوماتان یادگیر مهاجرت اشیا<sup>۰</sup> یعنوان یک ابزار جستجوی عمومی و الگوریتم یادگیری انتشار خطابه عقب اس تقاده میکند و در ضمن آموزش، ساختار مناسبی برای شبکه عصبی سلایه (ساختار یکه دارای اندازه کوچک، پیچیدگی آموزش کم و قدرت تعیین بالا باشد) تعیین نماید. در الگوریتم بقا، آموزش از یک شبکه عصبی سلایپرگ شروع شده و اتوماتان یادگیری افزودن و کاستن واحد های مخفی، تعداد واحد های لایه مخفی این شبکه را تعیین میکند. اغلب روش های گزارش شده برای تعیین ساختار شبکه از الگوریتم های کوهنوری استفاده میکنند [۱] و مشکل گرفتاری در حداقل محلی را دارند. در الگوریتم بقا بدليل استفاده از روش های جستجوی عمومی (اتوماتان های یادگیر)، امکان گرفتاری در حداقل های محلی فضای ساختارها کاهش می یابد. الگوریتم بقا بعدا در این مقاله بطور خلاصه شرح داده خواهد شد. برای اطلاعات بیشتر در مورد الگوریتم های فوق می توانید مراجع [۴] مراجعه نمایید.

در این مقاله سه الگوریتم بر اساس اتوماتان های یادگیر مهاجرت اشیا و الگوریتم یادگیری انتشار خطابه عقب ارایه شده است که ساختار مناسب برای شبکه عصبی سه لایه را برای یک مجموعه از گوها را آموزشی تعیین می نماید. الگوریتم های این مقاله در گردیده است. الگوریتم بقا تعداد واحد های لایه میباشد: تعیین تعداد واحد های مخفی مورد نیاز و تعیین تعداد وزنهای موردنیاز شبکه. در الگوریتم بقا تعداد واحد های لایه الگوریتم با استفاده گردیده است. الگوریتم بقا تعداد واحد های لایه میانی شبکه را که قدرت تعیین مقدار قابل قبولی را ارایه و قادر به مدل سازی مسئله گردد تعیین می کند. برای تعیین تعداد وزنهای الگوریتم جدیدی با استفاده از اتوماتان یادگیری مهاجرت اشیا طراحی گردیده است. این الگوریتم با حذف وزنهایی که دارای اثر کمتری هستند نه تنها باعث کاهش پیچیدگی شبکه خواهد شد بلکه افزایش تعیین شبکه را هم بدنبال خواهد داشت. الگوریتم تعیین وزنهای با خاموش و روشن کردن وزنهای سعی در پیدا کردن وزنهای مناسب مینماید. در دو الگوریتم دیگر هدف فقط تعیین تعداد وزنهای لایه مخفی شبکه است و تعداد واحد های لایه مخفی را از طریق تعیین تعداد وزنهای شبکه مشخص می گردد. این دو الگوریتم با پرسی های محلی یا عمومی وزنهای لایه مخفی سعی در پیدا کردن ساختار مناسب برای شبکه را دارند. بخش های بعدی مقاله بصورت زیر سازماندهی شده است. رابطه بین ساختار شبکه های عصبی چند لایه و شکل تابع تمايز در بخش ۲ موردمطالعه قرار گرفته است. این مطالعه در بررسی الگوریتم های ارایه شده در این مقاله مورد استفاده قرار خواهد گرفت. سپس در بخش ۳ معیار های کارایی شبکه بررسی می شوند. مقدمه ای بر اتوماتان های یادگیر و الگوریتم بقا در بخش ۴ آمده است. الگوریتم های پیشنهادی در بخش ۵ بیان شده اند. نتایج آزمایشها برای مسائل مختلف در بخش ۶ و دریابان نتیجه گیری آورده شده است.

**۲- رابطه بین ساختار شبکه عصبی و شکل تابع تمايز**  
یک از روش های تعیین تابع تمايز، استفاده از شبکه عصبی چند لایه است. یک شبکه عصبی چند لایه قادر است تاهر نگاشت غیر خطی (تابع تمايز) را از روی نمونه های آموزشی تقریب بزند. کیفیت دسته بندی، تعداد و شکل تابع تمايز

شبکه بالداره کوچک، خروجی دقیق تولید نمیکند و شبکه ای بالداره بزرگ، پس از یادگیری هزینه خواهد بود و برای تعیین مجموعه آموزشی، نیاز به مجموعه آموزشی بزرگی خواهد داشت. طراحی یک شبکه با ساختار بهینه یک مسئله NP-Hard است [۴]. بهمین جهت بیشتر الگوریتم های ارائه شده برای تعیین ساختار شبکه های عصبی، الگوریتم های تقریبی هستند. این الگوریتم ها قبل، در حين یا بعد از یادگیری ساختار مناسب برای شبکه را تعیین می نمایند. بعضی از این الگوریتم ها از اطلاعات محلی و بعضی دیگر از اطلاعات عمومی برای یافتن ساختار مناسب شبکه استفاده میکنند. این الگوریتم ها را میتوان به پنج گروه عمده زیر تقسیم کرد.

**(الف) الگوریتم های هرس:** این الگوریتم ها از یک شبکه بزرگ شروع نموده و بتدریج در حين آموزش یا بعد از آن واحد ها یا وزنهای اضافی را از شبکه هرس می کنند. در یک دسته از الگوریتم های هرس یک جمله حریمه به تابع هدف شبکه افزوده می شود و باعث حذف وزنهای کم اهمیت تر در حين آموزش شبکه میگردد [۵۵] در دسته ای دیگر از الگوریتم های هرس ابتدا شبکه بطور کامل آموزش داده می شود و در پایان آموزش شبکه عصبی، حساسیت تابع هدف شبکه نسبت به هر وزن یا واحد (تأثیر حذف یک وزن یا واحد در تابع هدف شبکه) محاسبه می گردد و وزنهای یا واحد هایی حذف میگردد که دارای حساسیت کمتری باشند [۵۴]. در الگوریتم های هرس نیاز است که تعداد واحد های مخفی را در ابتدای آموزش مشخص نماییم. البته این مشکل جادی را ایجاد نمیکند زیرا کران بالای تعداد واحد های مخفی برای یک مسئله معین و برای بعضی از انواع شبکه ها مشخص است [۲۵][۱۰][۲]. این الگوریتم ها هم از مزایای شبکه های بزرگ (کم بودن پیچیدگی آموزش و دوری از حداقل های محلی) و هم از مزایای شبکه های کوچک (قدرت تعیین بالا) بهره می برند. [۵][۱۱][۲۱][۲۰][۱۲][۱۱][۲۱].

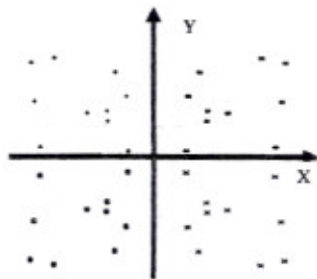
**(ب) الگوریتم های سازنده:** این الگوریتم های سازنده یک شبکه کوچک شروع به آموزش و بتدریج در حين آموزش شبکه، واحد یا لایه مخفی به شبکه میافزایند. این الگوریتم های سازنده های کوچک تولید میکنند که دارای پیجدگی آموزش بالا هستند [۲][۲۲][۲۱][۱۶][۱۳][۷].

**(ج) الگوریتم های ترکیبی:** این گروه از الگوریتم ها، از ترکیبی از الگوریتم های سازنده و الگوریتم های هرس برای تعیین ساختار شبکه استفاده میکنند. در این الگوریتم ها برای رسیدن به شبکه مطلوب میتوان وزن، واحد یا لایه مخفی را کم یا زیاد نمود [۶][۲۴][۲۴].

**(د) الگوریتم های تکاملی:** در این الگوریتم ها تعیین ساختار بهینه برای شبکه از طریق جستجو در فضای ساختارها انجام میگیرد. هر نقطه از این فضای نماینده یک ساختار شبکه است. الگوریتم جستجو با استفاده از یک معیار کارایی مانند حداقل خطأ و یا پیچیدگی آموزش بدنبال مناسب ترین ساختار میباشد [۱][۱۵][۲۲][۲۲][۲۸].

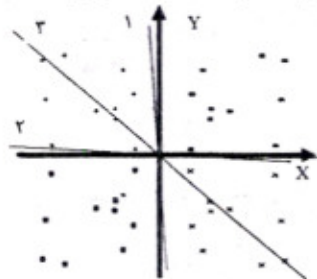
**(ه) الگوریتم های بر اساس اتوماتان های یادگیر:** تنها الگوریتم گزارش شده که بر اساس اتوماتان های یادگیر طراحی شده است الگوریتم بقانام دارد که توسط طبیگی و مبتدی [۴۳] ارایه گردیده است. این

- 1- Pruning Algorithms
- 2- Constructive Algorithms
- 3- Evolutionary Algorithms
- 4- Learning Automata



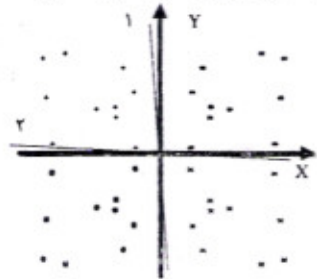
شکل ۲: توزیع گوها در صفحه

حال فرض کنید که یک شبکه عصبی سه لایه با دو واحد در لایه ورودی، سه واحد در لایه مخفی، پاتایع فعالیت سیگموئید چهار واحد در لایه خروجی با تابع فعالیت خطی برای دسته بنده گوها استفاده گردد. بدیل اینکه این شبکه دارای دو واحد در لایه ورودی است هر واحد در لایه مخفی یک خط (که با افزایش تعداد واحدهای ورودی خط به صفحه یا ابر صفحه تبدیل میگردد) در صفحه تولید میکنند. خطوط تولید شده توسط واحدهای لایه مخفی این شبکه در شکل ۳ نشان داده شده است (لازم بذکر است که شبکه فوق توسط الگوریتم انتشار خطابه عقب آموزش داده است).



شکل ۳: خط های تولید شده توسط واحدهای مخفی

با توجه به اینکه خروجی واحد مخفی ۳ (خطی کمابشماره ۳ نشان داده شده است) در جداسازی دسته ها زیک دیگر تاثیر ندارد گوها ای فوق میتوانند توسط یک شبکه عصبی سه لایه که دارای دو واحد ورودی، دو واحد مخفی و چهار واحد خروجی است دسته بنده گردند. خط های تولید شده توسط واحدهای مخفی این شبکه در شکل ۴ نشان داده شده است.

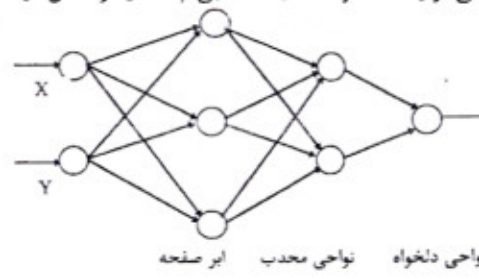


شکل ۴: خط های تولید شده توسط واحدهای مخفی

همانطور که در این شکل دیده میشود دو خط ۱ و ۲ برای جداسازی دسته ها زیک دیگر کافی هستند. توجه کنید که بین لایه ورودی و لایه مخفی این شبکه شناخت اتصال وجود دارد. با توجه به اینکه برای دسته بنده گوها ویژگی  $X$  برای خط شماره ۲ چندان مهم نیست. میتوان این گوها را با یک شبکه عصبی سه لایه با دو واحد ورودی، دو واحد مخفی، چهار واحد خروجی و ۴ اتصال بین لایه ورودی و لایه مخفی از هم جدا نمود. خطوط حاصله از این شبکه در شکل ۵ نشان داده شده است.

تعیین شده توسط این روش بستگی به تعداد لایه های مخفی، تعداد واحد هادر هر لایه مخفی، شکل تابع فعالیت واحدها، وزنها وغیره دارد. در یک شبکه عصبی چند لایه با  $n$  ورودی  $\{x_1, x_2, \dots, x_n\}$  را در که واحدهای آن دارای تابع فعالیت  $f_i$  باشند هر واحد در لایه مخفی اول یک ابر صفحه با معادله  $P_k = f_i(\sum_{i=1}^n x_i w_{ik} + b_k)$  تولید میکنند

که  $w_{ik}$  وزن اتصال بین واحد ورودی  $x_i$  واحد مخفی شماره  $k$  و  $b_k$  مقدار آستانه این واحد میباشد. واحد های موجود در لایه مخفی دوم با استفاده از ابر صفحه های تولید شده توسط واحد های لایه مخفی اول، نواحی محدودی تولید میکنند که ممکن است باز یا بسته باشند مانند ناحیه داخل مربع یا مثلث یا ناحیه بین دو خط موازی. اضافه نمودن واحد به لایه مخفی اول سبب افزایش تعداد لایه های موجود در مرز نواحی محدود تولید شده توسط این لایه میگردد. بنابراین تعداد لایه های موجود در مرز هر ناحیه حداقل شرایط برای تعداد واحدهای لایه مخفی اول است. بسیاری از این ابر صفحه ها تقریباً موازی و نزدیک بهم هستند و اطلاعات تقریباً یکسانی در وزنهای آنها ذخیره شده است که میتوانند برای حذف شوند. اگر یک لایه دیگر به شبکه اضافه شود واحدهای لایه جدید با استفاده از نواحی محدود تولید شده توسط واحدهای لایه مخفی دوم، ترکیبی از این نواحی (اشتراک، اجتماع و ...) تولید میکنند که الزاماً محدود نیستند و میتوانند هر شکل دلخواهی به خود بگیرند. پیچیدگی شکل ناحیه های تولید شده به تعداد واحدهای موجود در هر لایه مخفی از شبکه بستگی دارد. بنابراین با استفاده از یک شبکه عصبی چهار لایه (با احتساب لایه ورودی) میتوان ناحیه هایی با هر شکلی را تولید نمود. با توجه به اینکه مرز این نواحی همان تابع تمایز میباشد در نتیجه تعداد لایه های مخفی و تعداد واحدهای لایه مخفی از شبکه، شکل تابع تمایز را مشخص میکند. اگر تابع فعالیت واحدهای تابع یا بهتر مراقب اتصال بین دو ابر صفحه در هر ناحیه شکسته میگردد مانند  $r^2$  مربع یا مثلث، برای رفع شکستگی در مرز نواحی میتوان از تابع سیگموئید را تابع فعالیت واحدهای استفاده کرد. استفاده از تابع سیگموئید را تابع فعالیت واحدهای ثابت باقی میماند [۱]. شکل ۱ خلاصه ای از انواع نواحی تولید شده توسط شبکه عصبی چند لایه را نشان میدهد.



شکل ۱: نواحی تولید شده توسط یک شبکه عصبی چهار لایه

مثال زیر میتواند بعضی از نکات طرح شده فوق را روشن تر نماید.

**مثال ۱:** فرض کنید که چهار دسته گوها داشتم باشیم (که در شکل ۲ توسط نمادهای '+', '\*', 'x' و '#' نشان داده شده اند) و هر گوها توسط دو ویژگی  $X$  و  $Y$  نمایش داده شود. شکل ۲ نحوه قرار گرفتن گوها در ابر صفحه را نشان میدهد.

بود] ۴۰] متأسفانه از این نتیجه در عمل نمیتوان استفاده نمود زیرا شبکه تولید شده بسیار بزرگ و دارای قدرت تعمیم وسیعی بود که خواهد بود.

قدرت تعمیم شبکه: قدرت تعمیم شبکه می‌تواند مجموعه آموزشی یک شبکه پس از اتمام دوره آموزش روی داده‌هایی که در مجموعه آموزشی موجود نبوده‌اند چگونه عمل می‌کند. هرچه تعداد باسخهای مناسب شبکه به اینگونه وروده باشتر باشد قدرت تعمیم شبکه بیشتر خواهد بود. قدرت تعمیم یک شبکه برای یک مسئله به سه عامل اندازه و کارایی مجموعه آموزشی، معماری و ساختار شبکه و پیچیدگی فیزیکی مسئله بستگی دارد. از بین سه عامل فوق طراحی هیچ نوع کترنی روی عامل پیچیدگی فیزیکی مسئله دارد. بنابراین می‌توان قدرت تعمیم شبکه را از دونقطه نظر مورد بررسی قرار داد.

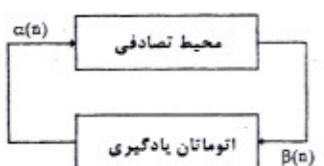
(الف) ساختار شبکه را ثابت در نظر گرفته و با تعیین اندازه مناسب برای مجموعه آموزشی قدرت تعمیم قابل قبول را برای شبکه ایجاد کرد.

(ب) اندازه مجموعه آموزشی را ثابت در نظر گرفته و بدنبال ساختار مناسب (تعداد لایه‌ها، تعداد واحد‌های هر لایه، محدودیت روی مقدار وزنهای وغیره) برای حصول به قدرت تعمیم قابل قبول بود.

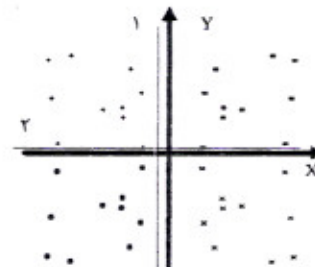
در این مقاله مسئله از نقطه نظر دو همراه می‌گذیریم وسیعی می‌گذیریم برای یک مجموعه آموزشی مشخص یک ساختار مناسب برای شبکه را پیدا کنیم. در این بررسی توجه به این نکته حائز اهمیت است که در صورتی که تعداد واحد‌های مخفی و تعداد وزنهای شبکه کم باشد مرز نواحی تولید شده توسط شبکه هموار بوده و بهمین دلیل شبکه دارای قدرت تعمیم بالا خواهد بود (شبکه ویژگی‌های مجموعه آموزشی را یاد می‌گیرد). در صورت بالا بودن تعداد واحد‌های لایع مخفی و تعداد وزنهای لایه مخفی مرز نواحی تولید شده توسط شبکه غیر هموار و دارای شکستگی هایی بوده و بهمین دلیل شبکه دارای قدرت تعمیم پایین می‌باشد (چنین شبکه ای مشابه یک جدول عمل می‌کند و تنها الگوهای آموزشی را بخاطر می‌سپارد). لازم بذکر است که تعداد زیاد وزنهای نه تنها باعث کاهش قدرت تعمیم شبکه می‌گردد بلکه زمان آموزش را افزایش می‌دهد.

#### ۴- اتوماتانهای یادگیر

یادگیری در اتوماتانهای یادگیر انتخاب اقدام بهینه‌زنی میان مجموعه اقدام‌های مجاز می‌باشد. این اقدام‌روی یک محیط تصادفی اعمال می‌شود و محیط به این اقدام اتوماتان بوسیله یک پاسخ از مجموعه باسخهای مجاز جواب میدهد. پاسخ محیط بصورت آماری به اقدام اتوماتان واسته است. اصطلاح محیط شامل اجتماع تمام شرایط خارجی و تاثیرات آثارهای عملکرد اتوماتان می‌باشد. یک محیط بصورت یک سه تایی ( $\beta_1, \beta_2, \beta_3$ ) نشان داده می‌شود. مجموعه  $\{\alpha_1, \dots, \alpha_n\}$  مجموعه ورودیها مجموعه  $\{\beta_1, \dots, \beta_m\}$  مجموعه احتمالات ( $\beta_i$  احتمال شکست اقدام  $\alpha_i$  است) و مجموعه  $\{\beta_1, \dots, \beta_m\}$  خروجی دودویی محیط می‌باشد [۲۵]. اتصال یک اتوماتان با محیط در شکل ۷ نشان داده شده است.

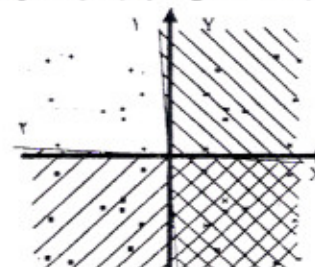


شکل ۹: اتصال اتوماتان یادگیری با محیط



شکل ۵: خط‌های تولید شده توسط واحد‌های مخفی

باتوجه به مثال فوق، تعداد واحد‌های مخفی، تعداد واحد‌های مخفی در هر لایه و نوع اتصال وزنهای، شکل نواحی تولید شده توسط شبکه عصبی را مشخص می‌کند. اگر تعداد واحد‌های مخفی زیاد باشد تعداد ابرصفحه‌های موجود در مرز تشكيل دهنده نواحی زیاد تر می‌شوند. وزنهای متصل به یک واحد مخفی وابستگی ابرصفحه تولید شده را به ویژگی‌های الگوهای ورودی تعیین می‌کنند و یا به عبارتی دیگر تعداد وزنهای ورودی به هر واحد مخفی، ابعاد ابرصفحه تولید شده توسط واحد‌های مخفی آن در شکل ۴ اثبات داده شده است. نواحی تشكيل شده توسط شبکه (تابع تمايز) در شکل ۶ نشان داده شده است.



شکل ۶: نواحی تولید شده توسط شبکه عصبی

#### ۳- معیارهای کارایی شبکه

در این قسمت رابطه پیچیدگی آموزش و قدرت تعمیم شبکه با ساختار شبکه‌های عصبی را مورد بررسی قرار میدهیم.

**پیچیدگی آموزش شبکه:** پیچیدگی آموزش شبکه در واقع همان پیچیدگی زمانی الگوریتم آموزش می‌باشد که بگذرید از مجموعه کاربرد موردنظر، ساختار شبکه عصبی والگوریتم یادگیری دارد. پیدا نمودن وزنهای مناسب برای شبکه برای یک مسئله مشخص یک مسئله ذاتاً مشکل می‌باشد و در گروه مسائل NP-Complete قرار دارد [۵۰]. بهمین دلیل برای تعیین وزنهای شبکه بمنظور حصول به یک نگاشت صحیح، الگوریتم‌های تفربی پیشنهاد شده است که الگوریتم یادگیری انتشار خطابه عقب که براساس جستجو در امتداد گرادیان پیشنهاده است یک نمونه از آنها می‌باشد. الگوریتم‌های جستجو در امتداد گرادیان دارای زمان اجرایی از مرتبه نمایی نیستند اما بسیار کند عمل می‌کنند. یک دلیل برای کندی این الگوریتم‌ها شکل خاص تابع مورد جستجو (مجموع مربعات خطوط) می‌باشد. بنابراین پیچیدگی آموزش یک شبکه به شکل سطح خطوط است که خود به ساختار شبکه عصبی بستگی دارد [۵۱]. هنوز شکل سطح خطوط برای انواع شبکه‌ها بررسی نشده است. تنها نتیجه‌ای که در این رابطه در دسترس است برای شبکه‌های سه لایه می‌باشد. اثبات شده است که اگر تعداد واحد‌های مخفی در یک شبکه عصبی سه لایه به اندازه یک واحد کمتر از تعداد داده‌های آموزشی انتخاب شود سطح خطوط این شبکه بدون حداقل محلی خواهد

در صورتیکه از اتماتانهای یادگیر برای دسته بندی یا افزار اشیاء استفاده شوند علیرغم سرعت همگرایی خوب، تعداد اقدام های اتماتان بسیار زیاد خواهد بود [۲۶] برای کاهش تعداد اقدام های اتماتان، اتماتان مهاجرت اشیا توسط  $\alpha$  و  $\beta$  پیشنهاد شده است [۲۶]. تعداد خروجی های این اتماتان بمراتب کمتر از اتماتانهای قبلی است ولی در عرض سرعت همگرایی آن پایین تر میباشد.

اتوماتان مهاجرت اشیا: اتماتان مهاجرت اشیاء توسط پنج تابی  $\alpha = \{\alpha_1, \alpha_2, \dots, \alpha_n\}$  نشان داده میشود [۲۶] که  $\Phi = \{\Phi_1, \Phi_2, \dots, \Phi_n\}$  مجموعه اقدام های مجاز،  $\beta = \{\beta_1, \beta_2, \dots, \beta_n\}$  مجموعه وضعیت ها،  $\Phi \times \beta \rightarrow \alpha$  تابع نگاشت خروجی میباشد. برای دسته بندی اشیاء [۲۶]، انتساب حروف به کلیدها [۲۷]، افزار گراف [۲۸]، تضاد گراف [۴۲] و تعیین تعداد واحد های مخفی شبکه های عصبی [۴۳] مورد استفاده قرار گرفته است.

در این اتماتان هر اقدام یک دسته از الگوها را نشان میدهد. در اتماتانهای با ساختار ثابت پاسخ محیط به اتماتان سبب تغییر وضعیت اتماتان میگردد در صورتیکه در اتماتان مهاجرت اشیاء، اشیا به وضعیت های اتماتان انتساب داده میشوند و پاسخ محیط به اتماتان سبب گردش اشیا در بین وضعیت های اتماتان میگردد. از طریق این گرددش دسته بندی اشیا انجام میگیرد. اگر شی  $w_i$  در اقدام شماره  $N$  اتماتان مهاجرت اشیا قرار داشته باشد این شی متعلق به دسته شماره  $R$  است. برای اقدام  $\alpha$  مجموعه وضعیت  $\{\Phi_{(k-1)N+1}, \dots, \Phi_{kN}\}$  در نظر گرفته میشود که  $N$  عمق حافظه را نشان میدهد. بدون از دست دادن عمومیت بحث میتوان  $\alpha$  را داخلی ترین وضعیت  $\Phi_{kN}$  و  $\Phi_{(k-1)N+1}$  را خارجی ترین وضعیت این اقدام در نظر گرفت. اگر دو شی  $w_i$  و  $w_j$  بترتیب در وضعیت های  $\Phi_{(k-1)N+1}$  و  $\Phi_{(k-1)N+m}$  ( $m > 1$ ) قرار داشته باشند در اینصورت احتمال تعلق شی  $w_i$  به این دسته از احتمال تعلق شی  $w_j$  بیشتر است. بنابر این برای اقدام  $\alpha$  وضعیت  $\Phi_{(k-1)N+1}$ ، وضعیت با بیشترین احتمال و وضعیت  $\Phi_{kN}$ ، وضعیت باکمترین احتمال نامیده میشود.

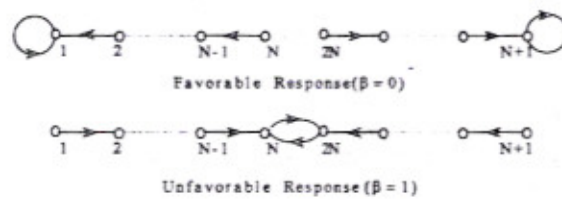
اتوماتان یادگیر تعیین تعداد واحد های لایه مخفی [۱]: در این قسمت اتماتان یادگیر تعیین تعداد واحد های مخفی که از نوع مهاجرت اشیا میباشد و اساس الگوریتم بقا را تشکیل میدهد بطور خلاطه شرح داده میشود [۴۳]. وظیفه این اتماتان دسته بندی واحد های لایه مخفی یک شبکه عصبی سه لایه به دو دسته واحد های مناسب و واحد های نامناسب است. اتماتان یادگیر تعیین تعداد واحد های لایه مخفی بصورت یک شش تابی  $\alpha = \{\alpha_1, \alpha_2, \dots, \alpha_n\}$  نشان داده میشود که در آن

۱- مجموعه اقدام های مجاز برای اتماتان یادگیر است. این اتماتان دو اقدام دارد که اقدام شماره یک آن اقدام مناسب یا واحد های روشن نام دارد. واحد هایی که در وضعیت های این اقدام قرار دارند برای آموزش شبکه عصبی مورد استفاده قرار میگیرند. اقدام شماره دو آن اقدام نامناسب یا واحد های خاموش نام دارد. واحد هایی

اتوماتان های یادگیر به دو خانواده اتماتان های یادگیر با ساختار ثابت<sup>۱</sup> و اتماتان های یادگیر با ساختار متغیر دسته بندی میشوند. اتماتان های Krylov و Tsetline و مثالهایی از خانواده اتماتان های یادگیر با ساختار ثابت هستند. یک اتماتان یادگیر با  $\alpha, \beta, \Phi, \Omega$  نشان داد. که  $\alpha = \{\alpha_1, \alpha_2, \dots, \alpha_n\}$  مجموعه اقدام های مجاز برای اتماتان یادگیر،  $\beta = \{0, 1\}$  مجموعه ورودی های اتماتان یادگیر (در این مجموعه یک F:  $\Phi \times \beta \rightarrow \alpha$  نماینگر شکست<sup>۲</sup> و صفر نماینگر موقوفت<sup>۳</sup> میباشد)،  $\Phi$  تابع نگاشت خروجی میباشد.

تابع نگاشت وضعیت ها و  $\alpha \rightarrow \Phi$ :  $\Phi$  تابع نگاشت خروجی میباشد. اقدام اتماتان بعنوان ورودی به محیط داده میشود و محیط بعد از اعمال اقدام داده شده توسط اتماتان یک پاسخ تصادفی که میتواند موفق یا نا موفق باشد را تولید میکند که بعنوان ورودی به اتماتان داده میشود. اتماتان با توجه به پاسخ محیط اقدام مربوطه را جریمه میکند و یا به آن پاداش میدهد. اگر احتمال تغییر وضعیت ها در اتماتان ثابت باشد آنرا اتماتان یادگیری با ساختار ثابت و در غیر اینصورت آنرا اتماتان یادگیری با ساختار متغیر مینامند. دردامنه بطور مختصر یک نمونه از اتماتان های یادگیر با ساختار ثابت بنام اتماتان Tsetline شرح داده میشود. برای اطلاعات بیشتر در مورد اتماتانهای با ساختار متغیر به مراجع [۱۷][۲۵][۴۴][۴۵][۴۶][۴۷] مراجعه نمایید.

اتوماتان Tsetline (L<sub>2N</sub>): این اتماتان N<sup>2</sup> وضعیت و ۲ اقدام دارد و سعی دارد از رفتار گذشته محیط برای تصمیم گیری های آینده خود استفاده نماید. این اتماتان تعداد پاسخ های دریافت شده برای هر اقدام را میشمارد و در صورتی اقدام خود را تغییر میدهد که تعداد پاسخ های ناموفق بیشتر از تعداد پاسخ های موفق (نا موفق)، اتماتان بسته باشد. برای هر پاسخ دریافت شده موفق (نا موفق)، اتماتان بسته وضعیت های داخلی تر (وضعیت های خارجی تر) اقدام انتخاب شده حرکت میکند. گراف تغییر حالت اتماتان در شکل ۸ نشان داده شده است.



شکل ۸: اتماتان Tsetline

اتوماتانهای یادگیر دارای کاربردهای فراوانی میباشند بعضی از این کاربردها عبارتند از: مسیر یابی در شبکه های ارتباطی [۱۸]، فشرده سازی تصاویر [۸]، شناسایی الگو [۲۶]، برنامه ریزی فرایندها<sup>۴</sup> در یک شبکه کامپیوتری [۲۵]، تئوری صفت [۲۱]، کنترل دسترسی در شبکه های انتقال ناهمزمان [۱۷]، کمک به آموزش شبکه های عصبی [۲۰]، دسته بندی و افزار اشیاء [۲۶].

1- Fixed Structure Learning Automata (FSLA)

2- Variable Structure Learning Automata (VSLA)

3- Unfavorable

4- Favorable

5- Process

6- Asynchronous transfer mode (ATM)

الگوریتم بقا از یک اتوماتان یادگیر تعیین تعداد واحد های لایه مخفی (بعنوان یک ابزار جستجوی عمومی) و الگوریتم یادگیری انتشار خطابه عقب استفاده میکند و در ضمن آموزش، تعداد واحد های مخفی مورد نیاز برای یک شبکه عصبی سه لایه را تعیین مینماید. در الگوریتم بقا، آموزش از یک شبکه بزرگ شروع شده و اتوماتان یادگیر با افزودن و کاستن واحد های مخفی، تعداد واحد های لایه مخفی یک شبکه عصبی سه لایه را تعیین میکند. در این الگوریتم، مناسب بودن یا نامناسب بودن یک واحد مخفی بر اساس واریانس فعالیت (انرژی مصرف شده) آن واحد برای الگوهای مختلف میباشد.

در الگوریتم های پیشنهاد شده در این مقاله از دو اتوماتان استفاده میگردد در روی یکی از این اتوماتانها وزن ها ورودی اتوماتان دیگر واحد های مخفی شبکه قرار میگیرند. برای سادگی در این مطلب، دو اتوماتان موجود در الگوریتم بصورت HULA(2, N<sub>1</sub>, H)-HWLA(2, N<sub>2</sub>, W) نشان داده میشوند که HULA(2, N<sub>1</sub>, H) اتوماتان تعیین تعداد واحد های لایه مخفی است که دارای دو اقدام عمق حافظه N<sub>1</sub> است و روی وضعيت های آن H واحد مخفی قرار دارد و HWLA(2, N<sub>2</sub>, W) وزن های لایه مخفی است که دارای دو اقدام عمق حافظه N<sub>2</sub> است که روی وضعيت های آن مجموعه وزن  $\{w_1, w_2, w_3, \dots\}$  قرار دارد. گراف تغییر حالت برای اتوماتان تعیین تعداد وزن های لایه مخفی شده است. وظیفه این الگوریتم های بنام الگوریتم های زمان بندی <sup>۲</sup> معرفی شده است. همچنین برای تنظیم فعالیت اتوماتانها، الگوریتم هایی بنام الگوریتم های K-N-M میتواند مورد استفاده قرار گیرد که در این مقاله تنها به دو مورد اشاره شده است. لازم به ذکر است که الگوریتم های زمان بندی مختلف منجر به کارایی های متفاوت میگردند. حال به شرح الگوریتم های پیشنهادی میپردازیم.

**الگوریتم ۱:** این الگوریتم داری دور حلقه میباشد. مرحله تعیین تعداد واحد های موردنیاز لایه مخفی و مرحله تعیین تعداد وزن های موردنیاز لایه مخفی شبکه. برای تعیین تعداد واحد های لایه مخفی از الگوریتم بقا استفاده گردیده است. الگوریتم بقا حداقل تعداد واحد های لایه میانی شبکه عصبی سه لایه که قدرت تعمیم قابل قبولی ارایه و قادر به مدل سازی مستقله گردد را تعیین میکند. در الگوریتم بقا، در ابتداء همه واحد های مخفی روشن بوده و در وضعيت  $\Phi$  قرار میگيرند و به همه واحد های روشن مدتی اجازه داده میشود تا در آموزش شبکه شرکت نمایند. واحد هایی که عملکرد آنها در این مدت مناسب نبوده جرمیه میشوند، واحد هایی که عملکرد آنها خیلی خوب بوده پاداش میگیرند و واحد هایی که در مورد آنها تعیین توان تصمیم گیری قطعی نمود بدون تغییر وضعیت باقی میمانند. برای تشخیص خوب یا بد بودن عملکرد یک واحد از متوسط انرژی مصرف شده آن واحد استفاده میشود. چگونگی تغییر فعالیت یک واحد به ازای مجموعه الگوهای آموزشی، انرژی مصرف شده آن واحد نامیده میشود.

پس از اتمام مرحله اول، مرحله دوم الگوریتم که تعیین تعداد وزن های لازم برای لایه مخفی شبکه میباشد شروع میشود. این مرحله از وزن های متصل به واحد های تعیین شده در مرحله اول الگوریتم استفاده میکند

1-Hidden Weight Learning Automata (HWLA)

2-Timming Algorithms

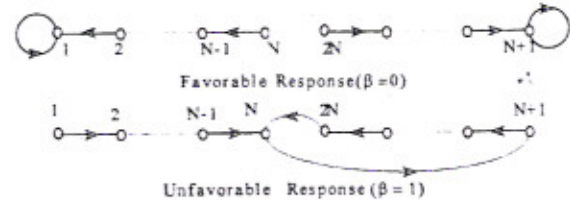
که در وضعيت های مربوط به این اقدام قرار میگیرند برای آموزش شبکه عصبی مورد استفاده قرار نمی گیرند.

-۲  $H = \{H_1, H_2, \dots, H_n\}$  مجموعه واحد های مخفی موجود در وضعيت های اتوماتان میباشد. اگر واحد  $H_i$  در اقدام شماره یک اتوماتان ظاهر شود این واحد بعنوان واحد مخفی مناسب (روشن) و در غیر اینصورت این واحد بعنوان واحد مخفی نامناسب (خاموش) در نظر گرفته میشود.

-۳  $\Phi = \{\Phi_1, \Phi_2, \dots, \Phi_{2N}\}$  مجموعه وضعيت های این اتوماتان به دو زیر مجموعه  $\{\Phi_1, \dots, \Phi_N\}$  و  $\{\Phi_{N+1}, \dots, \Phi_{2N}\}$  افزار میشود و براساس اینکه واحد های مخفی در چه وضعیتی قرار داشته باشند، دسته بندی میشوند. برای این اسas واحد های روشن با مجموعه  $\{H_i \mid 1 \leq State(H_i) \leq N\}$  و واحد های خاموش با مجموعه  $State(H_i) \leq 2N \}$  OFF =  $\{H_i \mid N+1 \leq State(H_i) \leq 2N\}$  نشان داده میشوند و در آن قرار دارد.

-۴  $\beta = \{0, 1\}$  مجموعه وردی های اتوماتان میباشد. در این مجموعه یک نمایانگر شکست و صفر نمایانگر موقوفیت میباشد.

-۵  $\Phi \rightarrow \Phi - \beta$ : تابع نگاشت وضعیت ها میباشد. این تابع از روی وضعیت فعلی و ورودی اتوماتان وضعیت بعدی آنرا تولید می نماید. در واقع این تابع چگونگی گردش واحد های مخفی را در وضعیت های اتوماتان مشخص میکند. شرح کارکرد این تابع در [۴۳] آمده است. برای سهولت نمایش در ارائه مطلب، اتوماتان یادگیر تعیین تعداد واحد های لایه مخفی با K اقدام، عمق حافظه N و انتساب M واحد مخفی توسط HULA (K, N, M) نشان داده میشود که گراف تغییر حالت برای اتوماتان در شکل ۹ نشان داده شده است.



شکل ۹: اتوماتان (2, N, 1)

-۶  $\Phi \rightarrow \alpha: G$ : تابع نگاشت خروجی میباشد. این تابع تصمیم میگیرد که به مازای هر وضعیت، اتوماتان چه اقدامی را تجاهد هد. اگر واحد  $H_i$  متعلق به مجموعه وضعيت های  $\{\Phi_1, \Phi_2, \dots, \Phi_N\}$  باشد این واحد روشن در نظر گرفته میشود. اگر واحد در وضعیت  $\Phi$  قرار داشته باشد مناسبتین واحد است و بیشترین اهمیت را دارد میباشد. اگر در وضعیت  $\Phi$  قرار داشته باشد دلایل کمترین اهمیت میباشد. اقدام شماره دونیز بهمین صورت میباشد. اگر واحد متعلق به مجموعه وضعیت های  $\{\Phi_{N+1}, \dots, \Phi_{2N}\}$  باشد واحد را خاموش در نظر میگیریم. اگر واحد در وضعیت  $\Phi_{N+1}$  قرار داشته باشد بیشترین اهمیت را دارد و اگر در وضعیت  $\Phi_{2N}$  قرار داشته باشد دلایل کمترین اهمیت میباشد.

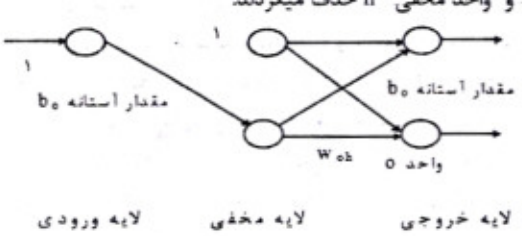
##### ۵- الگوریتم های پیشنهادی

این قسمت ابتدا به شرح مختصری از الگوریتم بقا می پردازد و سپس الگوریتم های جدیدی بر اساس اتوماتان های یادگیر مهاجرت اشیا را میکند.

(h) در شکل فوق پنهانی روشی نامیده میشود و بصورت زیر محاسبه میگردد.

$$X_{ON}(h) = \lambda_{ON} \frac{|\text{OFF}_w(h)|}{|\text{INPUT} + 1|}$$

ثابت  $\lambda_{ON} > 0$  ضریب پنهانی روشی،  $\# \text{INPUT}$  تعداد واحدهای لایه ورودی  $\text{OFF}_w(h)$  مجموعه وزنهای خاموش متصل به واحد مخفی روش  $h$  است. وزنهایی که قدر مطلق مقدار آنها از  $X_{ON}(h) - \mu_{ON}(h)$  کمتر باشد جریمه میشوند. وزنهایی را که قدر مطلق مقدار آنها از  $X_{ON}(h) + \mu_{ON}(h)$  بیشتر باشند پاداش میگیرند و وزنهایی که قدر مطلق مقدار آنها در فاصله  $(\mu_{ON}(h), X_{ON}(h), \mu_{ON}(h))$  قرار دارند تغییر وضعیت باقی میمانند. اگریک واحد مخفی (مطابق شکل ۱۱) دارای تنها یک وزن آستانه باشد این واحد وزن آنرا میتوان حذف کرد و خروجی این واحد را در مقدار آستانه واحدهای لایه خروجی اعمال نمود. در اینحالت مقدار  $w_{hk} + b_h$  را بعنوان مقدار آستانه واحد خروجی (b) قرار میدهیم و وزنهای  $b_h$  و واحد مخفی  $h$  حذف میگردد.



شکل ۱۱: حذف وزن بایان یک واحد

**تشخیص نحوه عملکرد یک وزن خاموش:** بدلیل اینکه در این مرحله اتماتانهای تعیین تعداد واحدهای مخفی خاموش است بنابراین هیچکدام از واحدهای مخفی تغییر وضعیت نمیدهند و تنها وزنهای خاموش متصل به واحدهای لایه روش بررسی میگردد. یک وزن خاموش در آموزش شبکه شرکت نمیکند بنابراین مقدار آنرا از آخرین زمان روش بودن آن محاسبه میکنیم. اگر یک وزن برای یک مدت طولانی خاموش باشد از اهمیت و در نتیجه از مقدار آن کاسته میشود. بنابراین مقدار یک وزن خاموش بصورت زیر محاسبه میشود.

$$W_{HK}(n+1) = W_{HK}(n) \lambda_d$$

که ثابت  $\lambda_d < 1$ . ضریب کاهش مقدار وزن نامیده میشود و شاخص زمان را نشان میدهد. به این ترتیب مقدار یک وزن خاموش بتدریج کم میشود. واریانس وزنهای خاموش بصورت زیر محاسبه میشود

$$\sigma_h = \sqrt{\frac{\sum_{W_{hk} \in ON_w(h)} (W_{hk} - \mu_{ON}(h))^2}{|\text{OFF}_w(h)|}} \quad h \in ON$$

که در آن  $W_{hk}$  وزن اتصال بین واحد ورودی  $k$  به واحد مخفی  $h$  مجموعه واحدهای روش  $(h)$  میانگین قدر مطلق مقدار وزنهای خاموش متصل به واحد مخفی روش  $h$  میباشد. پس از محاسبه واریانس وزنهای متصل به واحدهای روش، وزنهای خاموشی که قدر مطلق مقدار آنها از یک مقدار آستانه ای کمتر باشد پاداش میگیرند و وزنهای خاموشی که قدر مطلق مقدار آنها از یک مقدار آستانه ای دیگر بیشتر باشد جریمه میشوند و وزنهای خاموشی میشوند و وزنهای خاموشی که قدر مطلق مقدار آنها

و تنها طریقه اتصال وزنهای بین لایه ورودی و لایه مخفی را تعیین مینماید. در این مرحله اتماتان تعیین واحدهای لایه مخفی خاموش و اتماتان تعیین تعداد وزنهای لایه مخفی شبکه روش میگردد. در ابتدا همه وزنهای موجود در شبکه (وزنهای متصل به واحدهای لایه مخفی روش) در وضعیت  $\Phi$  قرار میگیرند. به همه وزنهای روش مدتی اجازه داده میشود تا در آموزش شبکه شرکت نمایند. وزنهایی که عملکرد آنها در این مدت مناسب نیست جریمه میشوند، وزنهایی که عملکرد آنها خوبی خوب است پاداش میگیرند و وزنهایی که در مورد آنها نمیتوان تصمیم گیری قطعی نمود بدون تغییر وضعیت باقی میمانند. برای تشخیص خوب یا بد بودن عملکرد یک وزن از قدرت انتشار این وزن (قدر مطلق مقدار وزن) استفاده میشود که توسط دو قانون مکافهه ای زیر بیان میشود.

عملکرد خوب یک وزن: وزنی دارای عملکرد خوب میباشد که سیگنال وارد شده به این وزن بسیار زیادی تضعیف نگردد و یا به عبارتی دیگر قدر مطلق آن کوچک نباشد. این بدان معنی است که اطلاعات ذخیره شده در این وزن مهم میباشد.

عملکرد بدیگر وزن: وزنی دارای عملکرد بداستاگر سیگنال وارد شده به این وزن بسیار زیادی تضعیف گردد و باید عبارتی دیگر قدر مطلق آن کوچک باشد. این بدان معنی است که اطلاعات ذخیره شده دروزن این واحد مهم نمیباشد.

**تشخیص نحوه عملکرد یک وزن روش:** اگر طی یک دوره آموزش شبکه توسط الگوریتم یادگیری انتشار خطأ به عقب، قدر مطلق مقدار یک وزن از یک مقدار آستانه ای دیگر بیشتر باشد وزن بد و اگر قدر مطلق مقدار آن از مقدار آستانه ای از واریانس قدر مطلق مقدار وزنهای استفاده میشود. بدلیل اینکه در مرحله اول این الگوریتم، الگوریتم بقا تعداد واحدهای مخفی شبکه را تعیین کرده است و در اینجا تنها هدف تعیین اتصال وزنهای بین لایه ورودی و لایه مخفی است لذا برای محاسبه واریانس قدر مطلق مقدار وزنهای، واریانس بصورت مجزا و برای وزنهای متصل به هر یک از واحدهای مخفی روش و بصورت زیر محاسبه میگردد.

$$\sigma_h = \sqrt{\frac{\sum_{W_{hk} \in ON_w(h)} (W_{hk} - \mu_{ON}(h))^2}{|ON_w(h)|}} \quad h \in ON$$

که در آن  $W_{hk}$  وزن اتصال بین واحد ورودی  $k$  به واحد مخفی  $h$  مجموعه واحدهای روش  $(h)$  مجموعه وزنهای روش متعلق به واحد مخفی  $h$  و  $\mu_{ON}(h)$  میانگین قدر مطلق مقدار وزنهای روش متصل به واحد مخفی  $h$  میباشد پس از محاسبه واریانس وزنهای روشی که در مطلق مقدار آنها از یک مقدار آستانه ای دیگر بیشتر باشد پاداش میگیرند و وزنهای روشی که قدر مطلق مقدار آنها بین دو مقدار آستانه ای فوق قرار میگیرند تغییری در وضعیت آنها ایجاد نمیشود. (شکل ۱۰)

وزنهای که بخشنده میباشد	وزنهای که در وضعیت آنها تغییر ایجاد نمیشود	وزن	قدر مطلق مقدار $X_{ON}(h)$
			$\langle W_{hk} \rangle$

شکل ۱۰: تشخیص مقدار آستانه وزنهای روش

تغییر وضعیت باقی میماند. برای تشخیص خوب یا بد بودن عملکردیک وزن از دو فاتون مکاشفه ای بیان شده در الگوریتم ۱ استفاده شده است.

### algorithm \_1

#### Input:

Training Set ( $X, T$ ),  $X$  is input and  $T$  is desired output  
Maximum No. of Hidden Units:  $H_{max}$

#### Output:

Network Weight Vector :  $W$   
Network Topology: ON,  $ON_w$

#### call Survival

#### repeat

// After K steps of BP weights are examined

for  $m := 1$  To  $K$  do

call BP

end for

for all  $h \in ON$  do

if  $w \in OFF_w$  then

$w = w * \lambda_d$

Compute  $X_{ON}, X_{OFF}$

if  $w \in OFF_w$  then

if  $abs(w) < (\mu_{OFF} - X_{OFF})$  then RewardOFFWeight( $w$ )

if  $abs(w) > (\mu_{OFF} + X_{OFF})$  then PenalizeOFFWeight( $w$ )

else

if  $abs(w) < (\mu_{ON} - X_{ON})$  then PenalizeOnWeight( $w$ )

if  $abs(w) > (\mu_{ON} + X_{ON})$  then RewardOnWeight( $w$ )

end for

if unit  $h$  has only bias weight then

remove this weight and its unit and change the output units biases

end for

until

end

#### procedure PenalizeOnWeight (l)

inc (State (l))

end procedure

#### procedure RewardOnWeight (l)

if State (l) > 1 then

dec (State (l))

end if

end procedure

#### procedure PenalizeOffWeight (l)

if State (l) ≠ 2 \* N then

inc (State (l))

else

State (l) := N

end if

end procedure

#### procedure RewardOffWeight (l)

if State (l) ≠ N + 1 then

dec (State (l))

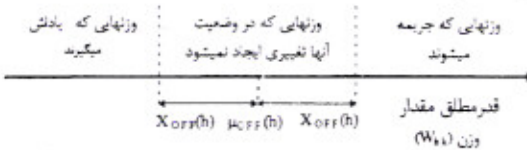
end if

end procedure

شکل ۱۳: الگوریتم ۱

تذکر ۱: در بسیاری از کاربردها ممکن است یک واحد مخفی مسئول پردازش قسمتی از الگوی ورودی باشد. مثلاً در شناسایی نویز حروف، یک واحد مخفی ممکن است پردازش ناحیه کوچکی از تصویر حرف را عهده دار باشد. اگر قسمتی از تصویر برای همه حروف یکسان باشد در فرایند شناسایی بی تاثیر خواهد بود بعنوان مثال در شناسایی اعداد فارسی ۱، ۲، ۳، ۴ نیمه پایین تصاویر اعداد یکسان است و هیچ تاثیری

بین دو مقدار آستانه ای فوق قرار میگیرند تغییری در وضعیت آنها ایجاد نمیشود.(شکل ۱۲)



شکل ۱۲: تشخیص مقدار آستانه وزنهای خاموش

در شکل فوق پهنای خاموشی نامیده میشود بصورت زیر محاسبه میگردد.

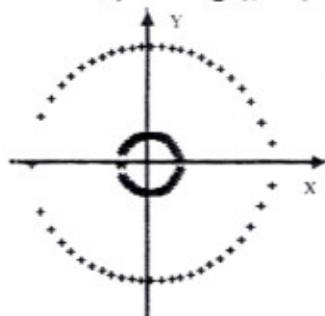
$$X_{OFF}(h) = \lambda_{OFF} \frac{|ON_w(h)|}{\# INPUT + 1}$$

که ثابت  $> \lambda_{OFF}$  ضربی پهنای خاموشی و  $\# INPUT$  تعداد واحدهای لایه ورودی است. وزنهایی که قدر مطلق مقدار آنهاز  $X_{OFF}(h)$ -  $\lambda_{OFF}(h)$  کمتر باشد باداش میگیرند. وزنهایی که قدر مطلق مقدار آنهاز  $X_{OFF}(h)$ +  $\lambda_{OFF}(h)$  بیشتر باشد جریمه میشوند. وزنهایی که قدر مطلق مقدار آنهاز  $X_{OFF}(h)$ -  $\lambda_{OFF}(h)$  باشد [برابر با  $X_{OFF}(h)$ -  $\lambda_{OFF}(h)$ ] قراردارد وضعیت آنها تغییر نمیکند. زمانیکه یک وزن از حالت خاموش به حالت روشن میرود مقدار آن بصورت تصادفی مقداردهی میگردد. این الگوریتم در شکل ۱۲ نشان داده است. در الگوریتم ۱، الگوریتم زمانبندی در ابتدا اوتماتان تعیین تعداد واحدهای لایه مخفی را روشن و اوتماتان تعیین تعداد وزنهای لایه مخفی را خاموش میکند. پس از تعیین تقریبی تعداد واحدهای لایه مخفی شبکه، اوتماتان تعیین تعداد واحدهای لایه مخفی خاموش و اوتماتان تعیین تعداد وزنهای لایه مخفی شبکه را روشن میکند. در بعضی از مواقع وبالاستفاده از اطلاعات موجود درباره مسئله، تعداد تقریبی واحدهای لایه مخفی را میتوان از قبل تعیین نمود و بهمین دلیل مرحله تعیین تعداد واحدهای لایه مخفی شبکه را روشن میکند. در بعضی از مواقع وبالاستفاده از اطلاعات موجود درباره مسئله، تعداد تقریبی واحدهای لایه مخفی همیشه همیشه خاموش است که در آن اوتماتان تعیین تعداد واحدهای لایه مخفی همیشه همیشه خاموش است. معتبر تشخیص خوب یا بد بودن عملکردیک وزن و همچنین نحوه جریمه کردن و پاداش دادن به یک وزن همانند الگوریتم ۱ است.

الگوریتم ۲: در صورتیکه تعداد تقریبی واحدهای لایه مخفی از قبل مشخص باشد میتوانیم از شکل خلاصه تری از الگوریتم ۱ استفاده نماییم و ساختار شبکه را تعیین کنیم. الگوریتم ۲ حالت خاصی از الگوریتم ۱ است که در آن اوتماتان تعیین تعداد واحدهای لایه مخفی همیشه همیشه خاموش است. تغییر تشخیص خوب یا بد بودن عملکردیک وزن و همچنین نحوه جریمه کردن و پاداش دادن به یک وزن همانند الگوریتم ۱ است.

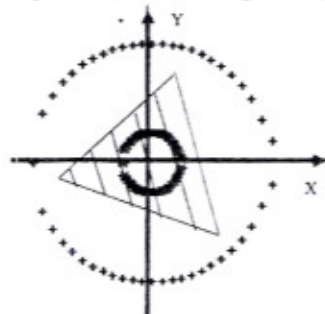
الگوریتم ۳: این الگوریتم در یک مرحله تعداد وزنهای را تعیین میکند. در این الگوریتم برای تعیین اهمیت هر وزن ورودی یک واحد مخفی، آن وزن باکیه وزنهای ورودی واحدهای روشن موجود در لایه مخفی شبکه مقایسه میگردد. (در این الگوریتم حذف یک واحد بطور غیر مستقیم از طریق حذف وزنهای آن انجام خواهد گرفت) در صورتیکه در الگوریتمهای ۱ و ۲ برای تعیین اهمیت یک وزن، مقدار آن وزن با مقدار وزنهای ورودی همان واحد مقایسه میگردد. در این الگوریتم، در ابتدا همه وزنهای موجود در شبکه در وضعیت  $\Phi$  اوتماتان HWLA قرار میگیرند و به همه وزنهای روشن مدتها اجازه داده میشود تا درآورش شبکه شرکت نمایند. وزنهایی که عملکرد آنها در این مدت مناسب نبوده جریمه میشوند. وزنهایی که عملکرد آنها خیلی خوب بوده پاداش میگیرند و وزنهایی که در مورد آنها نمیتوان تصمیم گیری قطعی نمود بدون

شبکه عصبی سه لایه با حداقل دو واحد مخفی و ۴ اتصال مورد نیاز میباشد (کمنوچی تولید شده توسط چنین شبکه‌ای در شکل ۵ نشان داده شده است).  
 ب) دسته بندی دو دسته از الگوهای در این مسئله دو دسته الگو وجود دارد که در شکل ۱۵ توسط علامت  $*$  و  $+$  نشان داده شده اند و بترتیب روی دایرهایی به شعاع های  $0^{\circ}$  و  $90^{\circ}$  توزیع شده اند. الگوها توسط دو ویژگی  $X$  و  $Z$  نمایش داده میشوند و این دو ویژگی ورودی‌های شبکه عصبی را تشکیل میدهند [۵۲]. هر دسته از این الگوها دارای ۲۰۰ نمونه می‌باشد که ۱۰۰ نمونه از آنها برای مجموعه آموزشی و از ۱۰۰ نمونه دیگر برای نمونه از استفاده گردیده است.



شکل ۱۵: الگوهای مثال ۲

این دسته‌ها بصورت خطی از هم جدا نیستند و برای جداسازی آنها یک شبکه عصبی سه لایه با حداقل ۳ واحد مخفی و ۶ اتصال مورد نیاز میباشد (که نواحی تولید شده توسط چنین شبکه‌ای در شکل ۱۶ نشان داده شده است).



شکل ۱۶: خط‌های جدا کننده الگوهای مثال ۲

ج) مسئله تشخیص اعداد چاپی فارسی: در این مسئله تشخیص اعداد چاپی فارسی (شکل ۱۷) مدنظر میباشد که روی یک صفحه کاغذ چاپ شده اند. اعداد فارسی از طریق یک دستگاه پویشگر و با قدرت تفکیک ۳۰۰ نقطه در اینچ نمونه برداری گردیده است. از هر حرف ۱۷ نمونه وجود دارد که از ۱۶ نمونه برای مجموعه آموزشی و از ۱ نمونه دیگر برای مجموعه آزمایشی استفاده شده است.

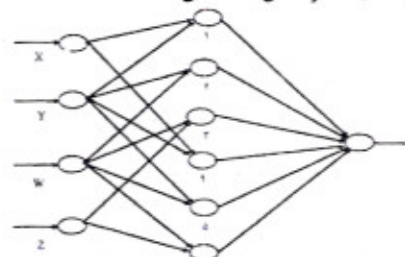
**۰۱۲۳۴۵۶۷۸۹**

شکل ۱۷: اعداد چاپی فارسی

پس از جداسازی حروف در تصویر، ثابت‌های گشتاوری  $M_1$  تا  $M_7$  استخراج شده است و این ۷ ویژگی ورودی‌های شبکه عصبی را تشکیل میدهند [۴۸].  
 د) مسئله تشخیص اعداد لاتین: در این مسئله ده عدد وجود دارد که هر کدام از آنها توسط یک ماتریس  $8 \times 8$  از نقاطهای سیاه‌وسفید نشان داده میشود [۳۴].  
 الگوهای آموزشی برای این مسئله در شکل ۱۸ نشان داده شده است.

در ادامه نتایج شبیه‌سازی‌های انجام گرفته شده برای مسئله‌های فوق آورده شده است.

در شناسایی ندارد بنابراین واحدهای مخفی برای شناسایی این اعداد نیاز به پردازش این ناحیه از تصویر ندارند. بطور مثال برای شناسایی دو عدد ۳ و ۴ از بین اعداد فوق، واحد مخفی که باید ۴ را شناسایی می‌کند می‌بایست ناحیه‌ای را پردازش نماید که واحد مخفی تشخیص دهنده عدد ۳ برای تشخیص ۳ بدان نیاز ندارد. اتصالات در چنین شبکه‌ای کامل نیست و تها تعدادی از اتصالات بین لایه ورودی و لایه مخفی موجود است. چنین شبکه‌ای را شبکه با اتصالات محلی<sup>۱</sup> میگویند. یک نمونه از اینگونه شبکه در شکل ۱۴ نشان داده شده است.



شکل ۱۴: شبکه با اتصالات محلی

در شبکه شکل ۱۴ واحد شماره ۱ دو وزن ورودی به دو واحدهای  $X$  و  $Z$  دارد و وزنهای ورودی آن به واحد شماره ۱ حذف شده است و این بدان معنی است که واحد شماره ۱ تنها این ناحیه از ورودی (X و Y) را پردازش میکند. این نوع شبکه‌ها ممکن است دارای تعداد واحدهای مخفی بیشتری نسبت به شبکه‌های کاملاً متصل باشد اما دارای تعداد وزنهای کمتر و قدرت تعیین بیشتری هستند زیرا خروجی هر واحد مخفی به تعداد متغیر کمتری وابسته است و هموار تر است و در نتیجه قدرت تعیین آن بیشتر است [۵۲]. این مسئله در الگوریتم ۲ (وقتی که تعداد واحدهای مخفی حدس زده شده باشد) و الگوریتم ۳ مد نظر میباشد. در این حالت وزنهایی از لایه مخفی شبکه حذف میگردد که ورودی برای آن وزنهای در بیشتر الگوهای ورودی تقریباً یکسان باشد. نتایج آزمایشات که در قسمت بعد به آن مبادرازیم نشان می‌دهند که هر سه الگوریتم ارایه شده، شبکه‌هایی با اتصالات محلی تولید میکنند. نتایج آزمایشات همچنین نشان میدهند که تعداد واحدهای مخفی که الگوریتم شماره ۱ تعیین میکند بمراتب کمتر از واحدهای مخفی تعیین شده توسط الگوریتم های ۲ و ۳ می‌باشد.

#### ۶-نتایج شبیه‌سازیها

در این قسمت چهار مسئله نمونه که الگوریتم‌های پیشنهادی روی آنها پیاده سازی شده است معرفی میگردد و سپس نتایج آزمایشات ارایه میشود.  
 الف) دسته بندی چهار دسته از الگوها: در این مسئله چهار دسته الگو (که در شکل ۲ با علامت  $*$ ,  $+$ ,  $X$  و  $Z$  نشان داده شده اند) وجود دارد که هر الگو توسط دو ویژگی  $X$  و  $Z$  نمایش داده می‌شوند و این دو ویژگی ورودی‌های شبکه را تشکیل میدهند [۵۳]. هر دسته از این الگوها ۱۵ نمونه هستند که ۱۰ نمونه از آنها برای مجموعه آموزشی و از ۵ نمونه دیگر برای مجموعه آزمایشی استفاده گردیده است. این دسته‌ها بصورت خطی از هم جدا نیستند و برای جدا سازی آنها یک

دسته‌بندی دو دسته از الگوهای الگوریتم ۱ روی ۶ شبکه بازنیهای اولیه تصادفی آزمایش شده و نتایج آن در جدول ۲ نشان داده شده است. برای انجام این آزمایش‌ها از اتوماتان (۲، ۷، N<sub>w</sub>)-HWLA(2, 7, 60)-HWLA استفاده شده است. N<sub>w</sub> تعداد وزنهای شبکه در پایان الگوریتم بقا می‌باشد. برای انجام این آزمایشها، نرخ یادگیری برابر ۰/۱، ضریب گشتاور برابر صفر، ضریب کاهش وزن برابر ۰/۹، ضریب پهنای خاموشی برابر ۰/۱، و ضریب پهنای روشنی برابر ۰/۰ در نظر گرفته شده است.

جدول ۲: نتیجه الگوریتم ۱ برای مسئله ۲

(الف) ساختار شبکه پس از پایان مرحله تعیین واحدهای مخفی

درصد تشخیص (آزمایشی)	درصد تشخیص (آموزش)	تعداد وزنهای لایه مخفی	واحد مخفي	شبکه
۱۰۰	۱۰۰	۲۱	۷	۱
۱۰۰	۱۰۰	۲۶	۱۲	۲
۱۰۰	۱۰۰	۲۴	۸	۳
۱۰۰	۱۰۰	۱۵	۵	۴
۱۰۰	۱۰۰	۲۴	۸	۵
۱۰۰	۱۰۰	۱۲	۴	۶
۱۰۰	۱۰۰	۲۲	۷/۲	متوسط

(ب) ساختار شبکه پس از پایان مرحله تعیین وزنهای

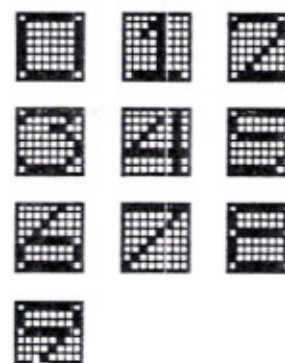
درصد تشخیص (آزمایشی)	درصد تشخیص (آموزش)	تعداد وزنهای لایه مخفی	واحد مخفي	شبکه
۱۰۰	۱۰۰	۸	۴	۱
۱۰۰	۱۰۰	۹	۶	۲
۱۰۰	۱۰۰	۱۰	۵	۳
۱۰۰	۱۰۰	۸	۴	۴
۱۰۰	۱۰۰	۹	۵	۵
۱۰۰	۱۰۰	۵	۴	۶
۱۰۰	۱۰۰	۸/۱۶	۴/۶	متوسط

مسئله تشخیص اعداد چاپی فارسی: الگوریتم ۱ روی ۶ شبکه بازنیهای اولیه تصادفی آزمایش گردیده و نتایج آن در جدول ۳ نشان داده شده است. برای تمامی این شبکه‌های اتوماتان (۲، ۷، N<sub>w</sub>)-HWLA(2, 7, 60)-HWLA استفاده شده است. N<sub>w</sub> تعداد وزنهای شبکه در پایان الگوریتم بقا می‌باشد. برای انجام آزمایش‌های مختلف، نرخ یادگیری برابر ۰/۰۱، ضریب گشتاور برابر ۰/۰۵، ضریب کاهش وزن برابر ۰/۹، ضریب پهنای روشنی برابر ۰/۳، و ضریب پهنای خاموشی برابر ۰/۰ در نظر گرفته شده است.

جدول ۳: نتیجه الگوریتم ۱ برای مسئله ۳

(الف) ساختار شبکه پس از پایان مرحله تعیین واحدهای مخفی

درصد تشخیص (آزمایشی)	درصد تشخیص (آموزش)	تعداد وزنهای لایه مخفی	واحد مخفي	شبکه
۱۰۰	۹۹/۳۷۵	۸۰	۱۰	۱
۱۰۰	۹۶/۸۷۵	۶۴	۸	۲
۱۰۰	۹۶/۸۷۵	۶۴	۸	۳
۹۰	۸۷/۷۵	۵۶	۷	۴
۱۰۰	۹۹/۳۷۵	۸۸	۱۱	۵
۸۰	۸۳/۷۵	۵۶	۷	۶
۹۵	۹۴	۶۸	۸/۵	متوسط



شکل ۱۸: الگوهای آموزشی برای مسئله تشخیص اعداد لاتین

(الف) الگوریتم ۱: این الگوریتم همانطور که قبل از این دسته است، تعداد واحدهای لایه مخفی و تعیین تعداد وزنهای لایه مخفی تشکیل شده است. الگوریتم ۱ روی مسائل فوق بیان شده توانایی شده این دسته است. (الف) جداول ۱ تا ۴ اورده شده است. قسمت (الف) جداول ۱ تا ۴ شبکه تولید شده توسط الگوریتم ۱ و قسمت (ب) این جداول نتیجه تولید شده بعد از مرحله دوم الگوریتم ۱ را نشان میدهد لازم بذکر است که در تمامی آزمایش‌های انجام گرفته توسط الگوریتم ۱، مجموعه‌الگوهای آموزش ۱۰۰۰۰ بار به شبکه داده شده است.

دسته‌بندی چهار دسته از الگوهای الگوریتم ۱ روی ۶ شبکه بازنیهای اولیه تصادفی آزمایش شده و نتایج آن در جدول ۱ نشان داده شده است. برای تمامی این شبکه‌های اتوماتان (۲، ۷، N<sub>w</sub>)-HWLA(2, 7, 39)-HWLA استفاده شده است. N<sub>w</sub> تعداد وزنهای شبکه در پایان الگوریتم بقا می‌باشد. لازم بذکر است که برای انجام آزمایش‌های مختلف، نرخ یادگیری برابر ۰/۰۱، ضریب گشتاور برابر صفر، ضریب کاهش وزن برابر ۰/۹، ضریب پهنای روشنی برابر ۰/۳، و ضریب پهنای خاموشی برابر ۰/۰ در نظر گرفته شده است.

جدول ۱: نتیجه الگوریتم ۱ برای مسئله ۱

(الف) ساختار شبکه پس از پایان مرحله تعیین واحدهای مخفی

درصد تشخیص (آزمایشی)	درصد تشخیص (آموزش)	تعداد وزنهای لایه مخفی	واحد مخفي	شبکه
۱۰۰	۱۰۰	۲۱	۷	۱
۱۰۰	۱۰۰	۳۶	۱۲	۲
۱۰۰	۱۰۰	۲۴	۸	۳
۱۰۰	۱۰۰	۲۲	۱۱	۴
۱۰۰	۱۰۰	۱۵	۵	۵
۱۰۰	۱۰۰	۱۲	۴	۶
۱۰۰	۱۰۰	۲۲/۵	۷/۸	متوسط

(ب) ساختار شبکه پس از پایان مرحله تعیین وزنهای

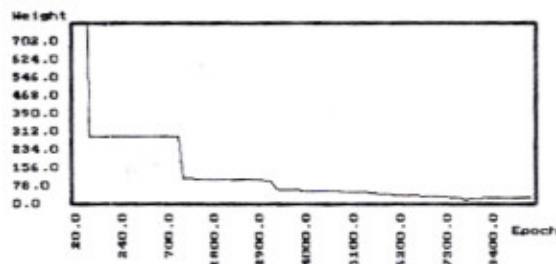
درصد تشخیص (آزمایشی)	درصد تشخیص (آموزش)	تعداد وزنهای لایه مخفی	واحد مخفي	شبکه
۱۰۰	۱۰۰	۸	۴	۱
۱۰۰	۱۰۰	۹	۶	۲
۱۰۰	۱۰۰	۱۰	۵	۳
۱۰۰	۱۰۰	۱۱	۶	۴
۱۰۰	۱۰۰	۸	۴	۵
۱۰۰	۱۰۰	۵	۴	۶
۱۰۰	۱۰۰	۸/۵	۴/۸	متوسط

جدول ۴(ادامه): نتیجه الگوریتم ۱ برای مسئله ۴

ب) ساختار شبکه پس از پایان مرحله تعیین وزنهای

شبکه	واحد مخفی	لایه مخفی	تعداد وزنهای	درصد تشخیص (آزمایشی)	درصد شناسی (آموزشی)
۱	۱۲	۲	۲۴	۱۰۰	۱۰۰
۲	۸	۲	۲۷	۱۰۰	۹۵/۰
۳	۶	۴	۵۱	۱۰۰	۹۵۶۲۵
۴	۷	۴	۵۶	۱۰۰	۹۶/۸۷۵
۵	۵	۵	۵۸	۱۰۰	۹۹/۳۷۵
۶	۱۲	۶	۵۶	۱۰۰	۹۶/۸۷۵
متوسط	۱۰/۸۲	۴۵/۲۲	۱۰۰	۱۰۰	۹۷/۱۸۷

شکل ۲۰ منحنی تغییرات تعداد وزنهای لایه مخفی شبکه را براساس تکرار ارایه الگو برای شبکه شماره ۱ جدول ۴-ب نشان میدهد.



شکل ۲۰: تغییرات تعداد وزنهای لایه مخفی شبکه براساس تکرار ارایه الگو

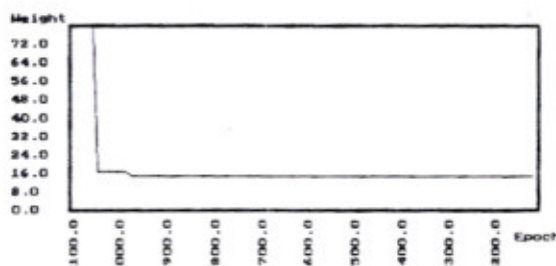
همانطور که در جداول فوق مشخص است تعداد وزنهای از مرحله تعیین تعداد وزنهای لایه مخفی سیار کمتر از تعداد وزنهای از مرحله تعیین واحدهای لایه مخفی میباشد و همچنین قدرت تعیین شبکه در پایان مرحله تعیین وزنهای نیز در بیشتر موارد بیشتر از قدرت تعیین شبکه در پایان مرحله تعیین واحدهای است. این بدان دلیل است که با کاهش نسبت متوسط تعداد وزن بر واحد مخفی، ابر صفحه های تولید شده توسط واحدهای مخفی سیار هموار میگردند. نکته جالب دیگری که از جداول فوق میتوان نتیجه گرفت تعداد متوسط وزنهای متصل به هر واحد مخفی میباشد. در مسئله ۱ و ۲ همه واحدهای مخفی کمتر از ۲ وزن ورودی دارند و در مسئله ۱ بیشتر خطوط تولید شده توسط واحدهای مخفی موازی یکدیگر میباشد و تعداد کمی از آنها خطوط مورب هستند که در دسته بندی الگوهای نقش ندارند. در مسئله ۲ هر واحد مخفی تقریباً ۳ وزن دارد یعنی هر واحد مخفی بطور متوسط بیشتر از نیمی از ویژگیهای که برای شناسایی در نظر گرفته شده است استفاده نمیکند. در مورد مسئله ۴ نسبت متوسط تعداد وزن بر واحد مخفی برای آزمایش های مختلف، متفاوت میباشد: شبکه های تولید شده توسط الگوریتم یک این واقعیت را نشان می دهند که بیشتر ویژگیهای مربوط به الگوها (ورودیهای شبکه عصبی) برای شناسایی مورد استفاده قرار نمی گیرند.

ب) الگوریتم ۲: الگوریتم ۲ شکل خلاصه تری از الگوریتم ۱ است که در آن تعداد واحدهای مخفی بصورت تقریبی و در ابتدا توسط طراح شبکه مشخص میگردد. این الگوریتم فقط طریقه اتصال بین لایه ورودی و لایه مخفی را تعیین میکند. در این الگوریتم تعیین تعداد واحدهای لایه مخفی بطور غیر مستقیم و از طریق تعیین تعداد وزنهای لایه مخفی شبکه انجام میگیرد. این الگوریتم نیز مانند الگوریتم ۱ شبکه ای

جدول ۳(ادامه): نتیجه الگوریتم ۱ برای مسئله ۳

ب) ساختار شبکه پس از پایان مرحله تعیین وزنهای

شبکه	واحد مخفی	لایه مخفی	تعداد وزنهای	درصد تشخیص (آزمایشی)	درصد شناسی (آموزشی)
۱	۸	۲	۱۵	۹۹/۳۷۵	۱۰۰
۲	۸	۲	۲۶	۹۵/۰	۱۰۰
۳	۷	۴	۲۶	۹۵۶۲۵	۱۰۰
۴	۷	۴	۱۸	۹۶/۸۷۵	۱۰۰
۵	۹	۵	۱۸	۹۹/۳۷۵	۱۰۰
۶	۷	۶	۱۸	۹۶/۸۷۵	۱۰۰
متوسط	۷/۸۲۲	۲۰/۱۶	۷/۸۲۲	۹۷/۱۸۷	۱۰۰

شکل ۱۹ منحنی تغییرات تعداد وزنهای لایه مخفی شبکه را براساس تکرار ارایه الگو<sup>۱</sup> برای شبکه شماره ۱ جدول ۳-ب نشان میدهد.شکل ۱۹: تغییرات تعداد وزنهای لایه مخفی شبکه براساس تکرار ارایه الگو  
مسئله تشخیص اعداد لاتین: الگوریتم ۱ روی ۶ شبکه با وزنهای اولیه تصادفی آزمایش شده اند و نتایج آن در جدول ۴ نشان داده شده است. برای انجام آزمایش های انجام شده از اتماتان (N<sub>a</sub>) HULA(2, 20, 60)-HWLA (2, 20, 60)-HWLA استفاده گردیده است. N<sub>w</sub> تعداد وزنهای شبکه در پایان الگوریتم مقامی باشد. لازم بذکر است که برای انجام آزمایش های مختلف، نرخ ساده گیری برابر ۰/۰۱، ضریب گشتاور بر ارضی، ضریب کاهش وزن برابر ۰/۰۹، ضریب پهنای روشی ۰/۰۱، و ضریب پهنای خاموشی برابر ۰/۰۱ در نظر گرفته شده است.

جدول ۴: نتیجه الگوریتم ۱ برای مسئله ۴

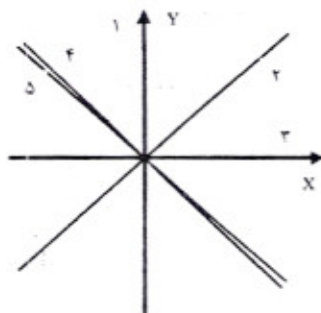
الف) ساختار شبکه پس از پایان مرحله تعیین واحدهای مخفی

شبکه	واحد	لایه مخفی	تعداد وزنهای	درصد تشخیص (آزمایش)	درصد شناسی (آموزش)
۱	۱۲	۱	۷۸۰	۱۰۰	۱۰۰
۲	۷	۲	۴۵۵	۱۰۰	۹۵۶۲۵
۳	۹	۲	۵۸۵	۱۰۰	۹۶/۸۷۵
۴	۱۲	۴	۸۴۵	۱۰۰	۹۹/۳۷۵
۵	۱۱	۵	۷۱۵	۱۰۰	۹۶/۸۷۵
۶	۱۲	۶	۸۴۵	۱۰۰	۹۹/۳۷۵
متوسط	۱۰/۸۲۳	۷۰۴/۱۶	۱۰۰	۹۷/۱۸۷	۱۰۰

بین لایه ورودی و لایه مخفی که در ابتدای مقاله بدان اشاره شد) را تولید نکرده‌اند. علت این امر آنست که تعداد زیادی از واحدهای مخفی خروجی‌های مشابه را تولید نمی‌کنند و بهمین دلیل تعدادی از واحدهای مخفی زائد هستند. برای مثال شبکه شماره ۱ را در جدول ۵-الف در نظر بگیرید. ماتریس وزنهای لایه مخفی در پایان اجرای الگوریتم این شبکه به صورت زیر می‌باشد.

$$W = \begin{bmatrix} 0 & 0 & -244 \\ 0 & 3124 & -268 \\ 0 & -1.69 & 0 \\ 0 & -3.01 & -2.69 \\ 0 & -1.62 & -116 \end{bmatrix}$$

در ماتریس فوق عنصر  $w_{ij}$  مقدار آستانه واحد مخفی شماره  $j$  عنصر  $w_{jm}$  وزن اتصال واحد مخفی شماره  $j$  به واحد ورودی  $m$  می‌باشد. در این شبکه واحد ورودی ۱ ویزگی  $x$  و واحد ورودی ۲ ویزگی  $y$  را نشان میدهد. خطوط تولید شده توسط واحد های مخفی این شبکه در شکل ۲۱ نشان داده شده است.



شکل ۲۱: خطوط تولید شده توسط واحد های مخفی شبکه ۱

در شکل ۲۱ خط شماره ۵ توسط واحد مخفی شماره ۵ تولید شده است (خطوط با شماره های ۱ و ۲ بترتیب روی محورهای  $y$  و  $x$  قرار گرفته‌اند). با توجه به شکل فوق خطوط با شماره های ۴ و ۵ بسیار نزدیک بهم هستند. این بدان معنی است که اطلاعات تقریباً یکسانی در وزنهای آنها ذخیره شده است (این دو واحد دارای واریانس فعالیت بالا و وزنهای با مقادیر بزرگ می‌باشند) و بهمین دلیل می‌توان یکی از این دو واحد را حذف نمود. در نتیجه شبکه هرس شده دارای ۴ واحد مخفی و ۶ اتصال خواهد بود. شبکه حاصله هنوز دارای دو واحد زائد با شماره های ۳ و ۴ می‌باشد که الگوریتم پیشنهادی با معیار بکار برده شده قادر به حذف آنها نشده است.

دسته‌بندی دودسته‌ازالگوها: الگوریتم ۲ روی ۶ شبکه‌بازندهای اولیه تصادفی آزمایش شده‌اند نتایج آن در جدول ۶ نشان داده شده است. برای تمامی این شبکه‌هادر قسمت (الف) از اتماتان (18)، (2)، (7) HWLA و در قسمت (ب) از اتماتان (180)، (2)، (7) HWLA استفاده شده است. نرخ یادگیری برابر ۰/۱، ضریب گشتاور برابر صفر، ضریب کاهش وزن ۰/۹، ضریب پهنای روشی برابر ۱۲، و ضریب پهنای خاموشی برابر ۱۵ می‌باشد.

با اتصالات محلی تولید می‌کند اگر تعداد واحدهای مخفی اولیه برای دو الگوریتم ۲ بمراتب بیشتر از تعداد واحدهای مخفی تعیین شده توسط الگوریتم ۱ می‌باشد این بدان دلیل است که حذف واحدهای لایه مخفی بطور غیر مستقیم از طریق حذف وزنهای لایه مخفی انجام می‌گیرد. الگوریتم ۲ روی چهار مسئله تعریف شده پیاده‌سازی شده و نتایج آزمایشات در جداول ۵ تا ۸ آورده شده است. برای آزمایشاتی که نتایج آنها در قسمت (الف) جداول ۵ تا ۸ آمده است تعداد واحدهای مخفی اولیه نسبت به تعداد واحدهای اولیه الگوریتم ۱ کوچک در نظر گرفته شده است. برای آزمایشاتی که نتایج آنها در قسمت (ب) جداول ۵ تا ۸ آمده است تعداد واحدهای مخفی اولیه الگوریتم ۲ مساوی تعداد واحدهای مخفی اولیه الگوریتم ۱ انتخاب شده است. لازم بذکر است که در تمامی آزمایشهای زیر ۱۰۰۰۰ بار مجموعه آموزشی به شبکه ارایه شده است.

**دسته‌بندی چهار دسته‌ازالگوها:** الگوریتم ۲ روی ۶ شبکه‌بازندهای اولیه تصادفی آزمایش شده‌اند نتایج آن در جدول ۵ نشان داده شده است. برای تمامی این شبکه‌هادر در جدول ۵-الف اتماتان (18)، (2)، (7) HWLA و در جدول ۵-ب از اتماتان (2)، (7)، (117) HWLA استفاده شده است. نرخ یادگیری برابر ۰/۱، ضریب گشتاور برابر صفر، ضریب کاهش وزن ۰/۹، ضریب پهنای روشی برابر ۱۲، و ضریب پهنای خاموشی برابر ۱۵ می‌باشد.

جدول ۵: نتیجه شبیه‌سازی الگوریتم ۲ برای مثال ۱

(الف) نتیجه الگوریتم ۲ برای مثال ۱ برای اتماتان (2)، (7)، (18)

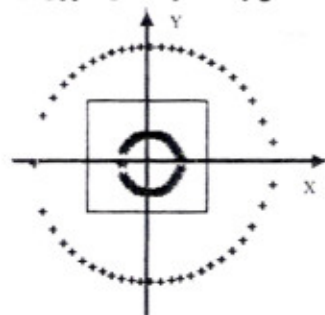
شبکه	واحد مخفی	تعداد وزنهای (آموزش)	درصد تشخیص (آزمایش)	درصد شخص (آزمایش)
۱	۴	۵	۱۰۰	۱۰۰
۲	۶	۷	۱۰۰	۱۰۰
۳	۶	۷	۱۰۰	۱۰۰
۴	۵	۶	۱۰۰	۱۰۰
۵	۶	۶	۱۰۰	۱۰۰
۶	۴	۵	۱۰۰	۱۰۰
متوجه	۵/۸۳	۶	۱۰۰	۱۰۰

(ب) نتیجه الگوریتم ۲ برای مثال ۱ برای اتماتان (2)، (7)، (117)

شبکه	واحد مخفی	تعداد وزنهای (آموزش)	درصد تشخیص (آزمایش)	درصد شخص (آزمایش)
۱	۲۶	۴۹	۱۰۰	۱۰۰
۲	۱۴	۱۸	۱۰۰	۱۰۰
۳	۱۸	۱۹	۱۰۰	۱۰۰
۴	۱۵	۲۰	۱۰۰	۱۰۰
۵	۱۹	۲۵	۱۰۰	۱۰۰
۶	۲۲	۴۲	۱۰۰	۹۵
متوجه	۱۹	۳۰/۵	۱۰۰	۹۹/۱۶

با مقایسه جداول ۱ و ۵ می‌توان به نکات جالب توجه ای اشاره نمود. اول آنکه متوسط تعداد وزن ورودی بر هر واحد مخفی در الگوریتم ۱ و الگوریتم ۲ تقریباً مساوی است. دوم آنکه هیچکدام از شبکه‌های سازهای شبکه با ساختار بهینه (شبکه سه لایه با دو واحد مخفی و چهار وزن

هستند که هر کدام از آنها یکی از چهار خط زیر را تولید می‌کنند و الگوریتم قادر به تشخیص و حذف واحدهای تکراری نیست.



شکل ۲۲: نواحی تولید شده برای شبکه‌های جدول ۶-ب برای مثال ۲

**مسئله تشخیص اعداد چایی فارسی:** الگوریتم ۲ روی ۶ شبکه با وزنهای اولیه تصادفی آزمایش شده‌اند و نتایج آن در جدول ۷ نشان داده شده است. برای تمامی این شبکه‌هایی قسمت (الف) از اتماتان (120) HWLA (2, 7, 120) و برای قسمت (الف) از اتماتان (480) HWLA (2, 7, 480) استفاده شده است. برای انجام این آزمایشها، نرخ یادگیری برابر  $0.01$ ، ضریب گشتاور برابر صفر، ضریب کاهش وزن برابر  $0.9$ ، ضریب پهنای روشی برابر  $15$ ، و ضریب پهنای حاموشی برابر  $15$  در نظر گرفته شده است.

جدول ۷: نتیجه شبیه سازی الگوریتم ۲ برای مثال ۲

الف) نتیجه الگوریتم ۲ برای مثال ۲ برای اتماتان (120) HWLA (2, 7, 120)

شبکه	واحد مخفی	لایه مخفی	تعداد وزنهای	درصد تشخیص (آموزش)	درصد تشخیص (آزمایشی)
۱	۱۴	۶۱	۹۸/۷۵	۱۰۰	۱۰۰
۲	۱۵	۶۲	۹۸/۱۲۵	۱۰۰	۹۹/۳۷۵
۳	۱۵	۷۰	۹۹/۳۷۵	۱۰۰	۹۹/۳۷۵
۴	۱۵	۶۱	۹۹/۳۷۵	۱۰۰	۹۹/۳۷۵
۵	۱۵	۶۰	۹۹/۳۷۵	۱۰۰	۹۸/۷۵
۶	۱۵	۷۴	۹۸/۷۵	۱۰۰	۹۸/۷۵
متوسط	۱۴/۸۳	۶۴/۶۶	۹۸/۹۵	۹۸/۹۵	۹۸/۷۵

ب) نتیجه الگوریتم ۲ برای مثال ۳ برای اتماتان (480) HWLA (2, 7, 480)

شبکه	واحد مخفی	لایه مخفی	تعداد وزنهای	درصد تشخیص (آموزش)	درصد تشخیص (آزمایشی)
۱	۲۸	۸۲	۱۰۰	۱۰۰	۱۰۰
۲	۳۵	۹۸	۱۰۰	۱۰۰	۱۰۰
۳	۳۰	۶۵	۱۰۰	۱۰۰	۱۰۰
۴	۲۵	۶۸	۹۹	۹۹	۹۹
۵	۳۴	۹۰	۱۰۰	۱۰۰	۱۰۰
۶	۳۰	۷۰	۱۰۰	۱۰۰	۹۹/۸۴
متوسط	۳۰/۳۲	۷۸/۸۲	۷۸/۸۲	۹۹/۸۴	۹۹/۸۴

شکل ۲۳: منحنی تغییرات تعداد وزنهای لایه مخفی شبکه را براساس تکرار از ایه الگو برای شبکه شماره ۱ جدول ۷-الف نشان میدهد.

جدول ۶: نتیجه شبیه سازی الگوریتم ۲ برای مثال ۲

الف) نتیجه الگوریتم ۲ برای مثال ۲ برای اتماتان (180) HWLA (2, 7, 180)

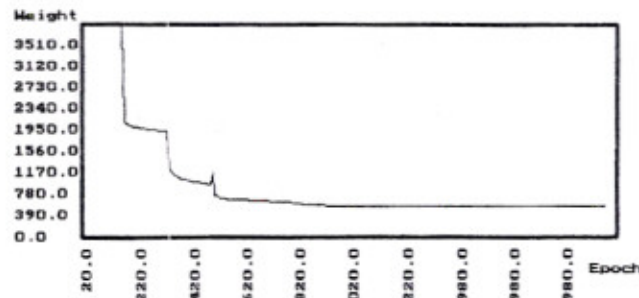
شبکه	واحد مخفی	لایه مخفی	تعداد وزنهای	درصد تشخیص (آموزش)	درصد تشخیص (آزمایشی)
۱	۵	۱۲	۱۰۰	۱۰۰	۱۰۰
۲	۵	۱۱	۱۰۰	۱۰۰	۱۰۰
۳	۵	۱۲	۱۰۰	۱۰۰	۱۰۰
۴	۵	۱۲	۱۰۰	۱۰۰	۱۰۰
۵	۴	۱۰	۱۰۰	۱۰۰	۱۰۰
۶	۵	۱۲	۱۰۰	۱۰۰	۱۰۰
متوسط	۴/۸۸	۱۱/۸۳	۱۱/۸۳	۹۹/۶۶	۹۸/۷۵

ب) نتیجه الگوریتم ۲ برای مثال ۲ برای اتماتان (180) HWLA (2, 7, 180)

شبکه	واحد مخفی	لایه مخفی	تعداد وزنهای	درصد تشخیص (آموزش)	درصد تشخیص (آزمایشی)
۱	۴۸	۹۶	۹۸	۹۸	۹۶
۲	۳۹	۷۸	۱۰۰	۱۰۰	۹۸
۳	۴۸	۹۶	۱۰۰	۱۰۰	۹۸
۴	۴۴	۸۸	۱۰۰	۱۰۰	۹۸
۵	۴۲	۸۴	۱۰۰	۱۰۰	۹۸
۶	۳۸	۷۶	۱۰۰	۱۰۰	۹۸
متوسط	۴۲/۱۶	۸۶/۲۲	۹۹/۶۶	۹۸/۷۵	۹۸/۷۵

با توجه به جداول ۲ و ۶ میتوان به نکات زیر اشاره نمود. اول آنکه، نسبت متوسط تعداد وزن بر واحد مخفی در دو جدول مذکور تقریباً یکسان است. این نسبت در جداول ۲-ب و ۶-الف حدود دو و در جدول ۶-ب مساوی ۲ است. یعنی شبکه‌های آموزش داده شده در جدول ۶-ب از یکی از وزنهای ورودی خود (وزن آستانه، وزن متصل به ورودی X و یا وزن متصل به ورودی Y) برای شناسایی دسته‌ها از یکدیگر استفاده نمیکند. با توجه به ناحیه رسم شده در شکل ۱۶ که دو دسته‌الگوها را از هم جدا می‌سازد میتوان نتیجه گرفت که این خطوط یا مواردی کسی از دو محور (معادلات خطوط بفرم  $C = Y - mX$  و یا  $C = X - mY$ ) باشند، واحد مخفی نیاز به دو وزن (وزن آستانه و وزن بتصور  $X = C$ ) باشد، واحد مخفی نیاز به دو وزن (وزن آستانه و وزن بتصور  $Y = C$ ) باشد و در حالیکه معادله خط بتصور  $C = Y - mX$  است واحد مخفی نیاز به دو وزن (وزن آستانه و وزن متصل به ورودی Y) دارد و در حالیکه معادله خط بتصور  $C = X - mY$  است واحد مخفی نیاز به سه وزن (وزن آستانه، وزن متصل به ورودی X و وزن متصل به ورودی Y) دارد. با توجه به آزمایش‌های انجام شده، واحدهای مخفی تغییر شده عموماً یکی از دو خط  $C = Y - mX$  یا  $C = X - mY$  را نشان می‌دهند. ناحیه‌های تولید شده مطابق شکل ۲۲ خواهد بود. شبکه‌ای که این نواحی را تولید می‌کند بایستی حداقل چهار واحد مخفی داشته باشد. این ساختار از ساختار بهینه (شبکه عصبی سه لایه با ۳ واحد مخفی و ۸ اتصال) یک واحد مخفی بیشتر دارد اما تعداد وزنهای واحدهای مخفی یکسان است. اما شبکه‌های تولید شده دارای تعداد واحدهای مخفی بیشتری

شکل ۲۴ منحنی تغییرات تعداد وزنهای لایه مخفی شبکه را براساس تکرار ارایه الگو برای شبکه شماره ۱ جدول ۸ نشان میدهد.

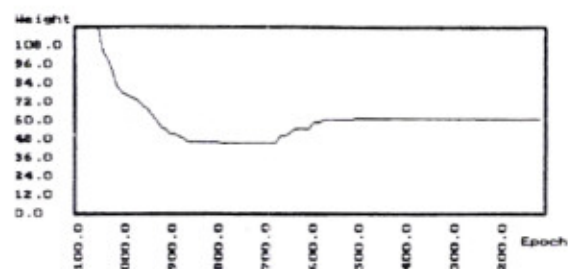


شکل ۲۴ : تغییرات تعداد وزنهای لایه مخفی شبکه براساس تکرار ارایه الگو

با توجه به جداول ۴-ب و ۸ نتایج زیر امیتوان گرفت. همانند مسائل قبل تعداد واحدهای مخفی تعیین شده توسط الگوریتم ۲ بمراتب بیشتر از تعداد واحدهای مخفی تعیین شده توسط الگوریتم ۱ می باشد. نکته دیگر اینکه شبکه های تولید شده توسط الگوریتم های ۱ و ۲ برای مسائل ۱ و ۲ تقریباً از سی درصد از ورودیهای و برای مسئله ۳ بیشتر از نیمی از ورودیهایش و برای مسئله ۴ تقریباً از هشتاد درصد از ورودیهایش استفاده نمی کند. بنابراین میتوان انتظار داشت دو الگوریتم ۱ و ۲ برای شبکه هایی مناسب تر هستند که دارای ورودیهای زیادی باشند.

ج ) الگوریتم ۳: الگوریتم ۳ بمنظور تعیین تعداد وزنهای لایه مخفی را بصورت عمومی با در نظر گرفتن همه وزنهای همه واحدهای مخفی روشن مقایسه میکند و بر اساس نتایج این مقایسه ها عمل افزایش یا کاهش تعداد وزنهای لایه مخفی را انجام می دهد. در این الگوریتم تعیین تعداد واحدهای لایه مخفی بطور غیر مستقیم و از طریق تعیین تعداد وزنهای لایه مخفی شبکه اولیه انجام می گیرد این الگوریتم نیز مانند دو الگوریتم ۱ و ۲ شبکه ای با اتصالات محلی تولید میکند (تذکر ۱). در صورتیکه تعداد واحدهای مخفی اولیه برای دو الگوریتم ۱ و ۳ یکسان باشد تعداد واحدهای مخفی تعیین شده توسط الگوریتم ۳ بیشتر از تعداد واحدهای مخفی تعیین شده توسط الگوریتم ۱ میباشد زیرا در الگوریتم ۳ بصورت صریح واحدی حذف نمیگردد بدلیل استفاده از مزایای آموزش شبکه های بزرگ، تعداد واحدهای مخفی در ابتدای آموزش شبکه توسط الگوریتم ۳ بیشتر از تعداد تعیین شده توسط الگوریتم ۱ در نظر گرفته شده است. این الگوریتم روی مسائل نمونه پیاده سازی شده و نتایج آزمایشات در جداول ۹ تا ۱۲ آورده شده است. لازم بذکر است که در تمامی آزمایش های زیر برای آموزش و تعیین ساختار شبکه های عصبی ۱۰۰۰۰ بار مجموعه آموزشی به شبکه ارایه شده است.

دسته بندی چهار دسته از الگوهای الگوریتم ۳ روی ۶ شبکه با وزنهای اولیه تصادفی آزمایش شده اند و نتایج آن در جدول ۹ نشان داده شده است. برای تمامی این شبکه ها از اتماتان HWLA (2, 7, 117) استفاده شده است. لازم بذکر است که برای انجام آزمایش های مختلف، نرخ یادگیری برابر ۰/۴، ضریب گشتاور برابر ۰/۶، ضریب کاهش وزن برابر ۰/۹، ضریب پهنای روشنی برابر ۰/۱۵ و ضریب پهنای خاموشی برابر ۰/۱۵ در نظر گرفته شده است.



شکل ۲۳ : تغییرات تعداد وزنهای لایه مخفی شبکه براساس تکرار ارایه الگو

باتوجه به جداول ۳-ب و جدول ۷ میتوان یعنی کاهش تعداد واحدهای مخفی در الگوریتم های ۱ و ۲ تقریباً مساوی هستند. بدلیل اینکه در حین کاهش تعداد وزنهای شبکه، تعدادی از واحدهای مخفی، خروجیهای مشابه ای را تولید میکنند تعداد واحدهای مخفی تعیین شده توسط الگوریتم ۲ بسیار بیشتر از تعداد واحدهای مخفی در اینجا میباشد. اطلاعات ذخیره شده در بردار وزن واحدهای مشابه ای را تولید میکنند تقریباً یکسان است و میتوان همه این واحدهای مشابه یعنی ساختار شبکه توسط الگوریتم دیگری انجام گیرد.

مسئله تشخیص اعداد لاتین: الگوریتم ۲ روی ۶ شبکه با وزنهای اولیه تصادفی آزمایش شده اند و نتایج آن در جدول ۸ نشان داده شده است. برای تمامی این شبکه های برای قسمت (الف) از اتماتان HWLA (2, 20, 975) و برای قسمت (ب) از اتماتان HWLA (2, 20, 3900) استفاده شده است. لازم بذکر است که برای انجام آزمایش های مختلف، نرخ یادگیری برابر ۰/۱، ضریب گشتاور برابر صفر، ضریب کاهش وزن برابر ۰/۹، ضریب پهنای روشنی برابر ۰/۱، و ضریب پهنای خاموشی برابر ۰/۱۵ در نظر گرفته شده است.

جدول ۸ : نتیجه شبیه سازی الگوریتم ۲ برای مثال ۴

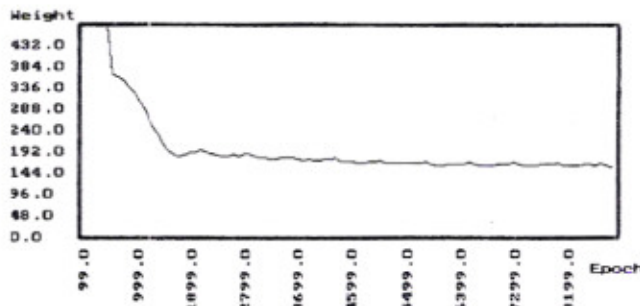
الف ) نتیجه الگوریتم ۲ برای مثال ۲ برای اتماتان (2, 7, 875)

شبکه	واحد	واحد مخفی	تعداد وزنهای لایه مخفی	درصد تشخیص (آزمایشی)	درصد تشخیص (آموزش)
۱	۱۵	۵۱۲	۱۰۰	۱۰۰	۱۰۰
۲	۱۵	۴۸۸	۱۰۰	۱۰۰	۱۰۰
۳	۱۵	۵۲۷	۱۰۰	۱۰۰	۱۰۰
۴	۱۵	۵۲۲	۱۰۰	۱۰۰	۱۰۰
۵	۱۵	۵۰۷	۱۰۰	۱۰۰	۱۰۰
۶	۱۵	۵۱۵	۱۰۰	۱۰۰	۱۰۰
متوسط	۱۵	۵۱۱/۸۳	۱۰۰	۱۰۰	۱۰۰

ب ) نتیجه الگوریتم ۲ برای مثال ۳ برای اتماتان (2, 7, 3900)

شبکه	واحد	واحد مخفی	تعداد وزنهای لایه مخفی	درصد تشخیص (آزمایشی)	درصد تشخیص (آموزش)
۱	۶۰	۴۴۰	۹۰	۱۰۰	۱۰۰
۲	۶۰	۵۲۷	۱۰۰	۱۰۰	۱۰۰
۳	۶۰	۵۴۱	۱۰۰	۱۰۰	۱۰۰
۴	۶۰	۵۸۲	۱۰۰	۱۰۰	۱۰۰
۵	۶۰	۵۷۱	۱۰۰	۱۰۰	۱۰۰
۶	۶۰	۵۳۱	۱۰۰	۱۰۰	۱۰۰
متوسط	۶۰	۵۲۳/۶۶	۱۰۰	۱۰۰	۱۰۰

شکل ۲۵ منحنی تغییرات تعداد وزنهای لایه مخفی شبکه را براساس تکرار ارایه الگو برای شبکه شماره ۱ جدول ۱۱ نشان میدهد.

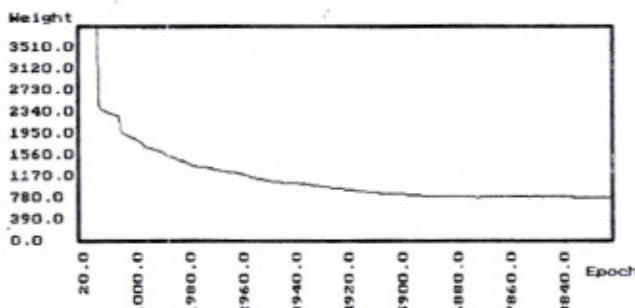


شکل ۲۵: تغییرات تعداد وزنهای لایه مخفی شبکه براساس تکرار ارایه الگو مسئله تشخیص اعداد اعده‌دانه‌ای آن: الگوریتم ۳ روی ۶ شبکه با وزنهای اولیه تصادفی آزمایش شده‌اند و نتایج آن در جدول ۱۲ نشان داده شده است. برای تمامی این شبکه‌ها از اتماتان (2, 7, 180) HWLA استفاده شده است. لازم بذکر است که برای انجام آزمایش‌های مختلف، نرخ یادگیری برابر  $0.01$ ، ضریب گشتاور برابر صفر، ضریب کاهش وزن پهنهای روشی برابر  $0.125$ ، و ضریب پهنهای خاموشی برابر  $0.125$  در نظر گرفته شده است.

جدول ۱۲: نتیجه شبیه سازی الگوریتم ۳ برای مثال ۴

درصد تشخیص (آزمایشی)	درصد تشخیص (آموزش)	تعداد وزنهای لایه مخفی	واحد مخفي	شبکه
۱۰۰	۱۰۰	۷۷۱	۶۰	۱
۱۰۰	۱۰۰	۸۰۲	۶۰	۲
۱۰۰	۱۰۰	۷۷۴	۶۰	۳
۱۰۰	۱۰۰	۷۸۴	۶۰	۴
۱۰۰	۱۰۰	۷۸۶	۶۰	۵
۱۰۰	۱۰۰	۷۸۷	۶۰	۶
۱۰۰	۱۰۰	۷۸۴	۶۰	متوجه

شکل ۲۶ منحنی تغییرات تعداد وزنهای لایه مخفی شبکه را براساس تکرار ارایه الگو برای شبکه شماره ۱ جدول ۱۲ نشان میدهد.



شکل ۲۶: تغییرات تعداد وزنهای لایه مخفی شبکه براساس تکرار ارایه الگو

تذکر ۲: نتایج آزمایشات برای هر سه الگوریتم پیشنهادی نشان می‌دهند با افزایش تعداد واحدهای ورودی شبکه، متوسط نسبت تعداد وزنهای روشی به کل وزنهای آن واحد در ابتدای آموزش (تعداد واحدهای ورودی شبکه) برای واحدهای مخفی کاهش می‌یابد. با توجه به اینکه

جدول ۹: نتیجه شبیه سازی الگوریتم ۳ برای مثال ۱

درصد تشخیص (آزمایشی)	درصد تشخیص (آموزش)	تعداد وزنهای لایه مخفی	واحد مخفي	شبکه
۱۰۰	۱۰۰	۲۹	۱۷	۱
۱۰۰	۱۰۰	۲۹	۱۷	۲
۹۵	۱۰۰	۳۰	۱۷	۳
۹۷/۵	۱۰۰	۲۹	۱۷	۴
۱۰۰	۱۰۰	۲۷	۲۰	۵
۱۰۰	۱۰۰	۳۴	۲۰	۶
۹۸/۷۵	۱۰۰	۲۹/۶۶	۱۸	متوجه

دسته بندی دو دسته از الگوهای الگوریتم ۲ روی ۶ شبکه با وزنهای اولیه تصادفی آزمایش شده اند و نتایج آن در جدول ۱۰ نشان داده شده است. برای تمامی این شبکه‌ها از اتماتان (2, 7, 180) HWLA استفاده شده است. لازم بذکر است که برای انجام آزمایش‌های مختلف، نرخ یادگیری برابر  $0.01$ ، ضریب گشتاور برابر صفر، ضریب کاهش وزن پهنهای روشی برابر  $0.015$ ، ضریب پهنهای روشی برابر  $0.025$ ، و ضریب پهنهای خاموشی برابر  $0.025$  در نظر گرفته شده است.

جدول ۱۰: نتیجه شبیه سازی الگوریتم ۳ برای مثال ۲

درصد تشخیص (آزمایشی)	درصد تشخیص (آموزش)	تعداد وزنهای لایه مخفی	واحد مخفي	شبکه
۱۰۰	۱۰۰	۸۲	۲۵	۱
۱۰۰	۱۰۰	۹۸	۲۵	۲
۱۰۰	۱۰۰	۶۵	۲۰	۳
۱۰۰	۱۰۰	۶۸	۲۵	۴
۱۰۰	۱۰۰	۹۰	۲۴	۵
۱۰۰	۱۰۰	۸۳	۲۷	۶
۱۰۰	۱۰۰	۸۱	۲۱	متوجه

مسئله تشخیص اعداد چاپی فارسی: الگوریتم ۳ روی ۶ شبکه با وزنهای اولیه تصادفی آزمایش شده‌اند و نتایج آن در جدول ۱۱ نشان داده شده است. برای تمامی این شبکه‌ها از اتماتان (2, 7, 480) HWLA استفاده شده است. لازم بذکر است که برای انجام آزمایش‌های مختلف، نرخ یادگیری برابر  $0.04$ ، ضریب گشتاور برابر صفر، ضریب کاهش وزن پهنهای روشی برابر  $0.09$ ، ضریب پهنهای روشی برابر  $0.15$ ، و ضریب پهنهای خاموشی برابر  $0.15$  در نظر گرفته شده است.

جدول ۱۱: نتیجه شبیه سازی الگوریتم ۳ برای مثال ۲

درصد تشخیص (آزمایشی)	درصد تشخیص (آموزش)	تعداد وزنهای لایه مخفی	واحد مخفي	شبکه
۱۰۰	۹۹/۳۷۵	۱۵۸	۵۶	۱
۱۰۰	۹۹/۳۷۵	۱۴۴	۵۷	۲
۱۰۰	۹۹/۳۷۵	۱۴۹	۵۵	۳
۱۰۰	۹۹/۳۷۵	۱۶۱	۵۶	۴
۱۰۰	۹۸/۷۵	۱۱۱	۵۰	۵
۱۰۰	۹۸/۷۵	۱۶۰	۵۶	۶
۱۰۰	۹۹/۱۶	۱۴۷/۱۶	۵۵	متوجه

صورتیکه تعداد تقریبی واحدهای مخفی از قبل مشخص باشد نتایجی مشابه الگوریتم ۱ را تولید میکند. (۳) شبکه های تولید شده توسط الگوریتم ۲ دارای کارایی باینتری نسبت به شبکه های تولید شده توسط الگوریتم ۱ هستند. (۴) در الگوریتم ۲ در صورتیکه تعداد واحدهای مخفی اولیه نسبتاً زیاد باشد، ساختار تعیین شده برای شبکه دارای تعداد واحدهای مخفی زیادی خواهد بود. نتیجه (۳) بدین علت است که الگوریتم ۱، آموزش را از یک شبکه بزرگ شروع می کند و سپس در حین آموزش واحدهای مخفی را کم یا زیاد می نماید و در نتیجه از مزایای در حین آموزش شبکه های بزرگ (پیچیدگی آموزش کم، دوری از حداقل های محلی) بیشترین بهره را می برد.

تذکر ۵: با توجه به جداول ۵ تا ۸ مشاهده می گردد که نسبت متوسط تعداد وزن ورودی بر واحد مخفی در قسمت (الف) این جداول بیشتر از قسمت (ب) آنها می باشد و این تفاوت با افزایش تعداد واحدهای ورودی شبکه (تعداد ویژگیهای الگوها) افزایش می باید. یک دلیل این افزایش این است که شبکه حداکثر کوشش خود را در حفظ وزنهای موجود می نماید. در صورتیکه شبکه های بزرگ نسبت به حذف وزن مقاوم تر هستند و بهمین دلیل این نسبت کاهش می باید.

تذکر ۶: در الگوریتم ۲ وزنهای بصورت عمومی و با همه وزنهای روشن واحدهای روشن لایه مخفی مقایسه میگرند و یک وزن ممکن است بصورت اشتباہ حذف گردد زیرا ممکن است یک وزن نسبت به وزنهای ورودی همان واحد مخفی دارای مقدار بزرگی و در نتیجه برای دسته بندي مورد نیاز باشد اما یک واحد مخفی دیگر دارای وزنهای نسبتاً بزرگ باشد و یکی از وزنهای این واحدهای دسته بندي لازم نباشد. مقایسه این دو وزن کوچک (وزن مناسب) و بزرگ (وزن نامناسب)، باعث حذف وزن کوچکتر گردد. در نتیجه الگوریتم ۲ با احتیاط بیشتری وزنهای را حذف میکند که باعث تولید شبکه های بزرگتری می گردد.

تذکر ۷: در این قسمت الگوریتم زمانبندی دیگری برای نحوه فعالیت اتوماتانهای یادگیر تعمیم تعداد واحدها و وزنهای لایه مخفی شبکه عصبی سه لایه بیان و نتایج آن برای یک مسئله تموهه ارایه میگردد. در این الگوریتم، در حین آموزش، هر دو اتوماتان تعیین تعداد واحدها و وزنهای لایه مخفی روشن هستند و طور هم زمان سعی در پیدا نمودن ساختار مناسب شبکه عصبی را دارند. لازم بذکر است که اتوماتان تعیین تعداد وزنهای لایه مخفی در هر مرحله فقط وزنهای متصل به واحدهای مخفی روشن را بررسی می کند و با تغییر وضعیت آنها جهت یافتن ساختار مناسب حرکت می کند. این الگوریتم برای مسئله تشخیص اعداد لاتین روی ۶ شبکه آزمایش شده است و نتایج آزمایش ها در جدول ۱۳ نشان داده شده است. برای آزمایش های انجام شده در این جدول، از اتوماتان HULA (2, 20, 60)-HWLA (2, 20, 3900) استفاده گردیده است. در این آزمایش ها مقدار ناخطا بزرگی برابر ۱/۰ و ضریب گشتاور برابر ۱/۰ در الگوریتم انتشار خطابه عقب، ضریب پهنای روشنی و ضریب پهنای خاموش بترتیب برابر ۰/۰۵ و ۰/۰۵ در برای تعیین تعداد واحدهای لایه مخفی و ضریب پهنای روشنی و ضریب پهنای خاموش بترتیب برابر ۰/۱۵ و ۰/۱۵ در برای تعیین تعداد وزنهای لایه مخفی استفاده گردیده است.

حذف یک وزن بین یک واحد ورودی (ویژگی) و یک واحد مخفی بمترله از بین رفن وابستگی ابر صفحه تولید شده توسط واحد مخفی به آن ویژگی می گردد (زمانیکه وزنهای متصل به یک واحد ورودی حذف گردد آن واحد ورودی (ویژگی) برای شناسایی مهم نیست و می تواند حذف شود). این بدان معنی است که این الگوریتم ها موقعی کارایی بالایی خواهند داشت که تعداد واحدهای ورودی شبکه زیاد باشد. از این خاصیت می توان برای تعیین یک زیر مجموعه از مجموعه ویژگیهای مناسب برای جداسازی الگوها استفاده نمود. بعنوان مثال، در شناسایی نوی حروف، ویژگیهای گشتاورهای مرکزی، گشتاورهای مقیاس شده و ثابت های گشتاوری از تصویر حروف استخراج شده از تصویر میتوانند مورد استفاده قرار گیرند. برای تعیین بهترین زیر مجموعه از مجموعه ویژگیهای فوق، میتوان تمام این ویژگیهای شبکه ارایه نموده و از طریق الگوریتم تعیین ساختار شبکه، بهترین زیر مجموعه ویژگیها را برای کاربرد مورد نظر انتخاب نمود.

تذکر ۳: در الگوریتم بقا (قسمت اول الگوریتم ۱)، در ابتدا واریانس فعالیت واحدهای مخفی تقریباً مشابه هستند و بیشتر آنها مناسب تشخیص داده شده و روش می مانند. اما بتدربیج در حین آموزش، واریانس فعالیت تعدادی از واحدهای مخفی افزایش و تعدادی آنها کاهش می باید ( واحدهایی که واریانس فعالیت آنها افزایش می باید واحدهایی هستند که نقش مؤثر و مثبتی در عملکرد شبکه دارا هستند و واحدهایی که واریانس فعالیت آنها کاهش می باید نقش مؤثری در عملکرد شبکه دارا نیستند) و بدین ترتیب قسمت هایی از شبکه که فعالیت بیشتری از خود نشان میدهند بتدربیج کوچکتر می شود. همین پدیده در مورد وزنهای نیز اتفاق میافتد. در ابتدا، مقادیر همه وزنهای تعیین شده هستند (زیرا در ابتدای آموزش وزنهای بصری تصادفی، از اعداد کوچکی انتخاب و مقدار دهی می شوند) که با پیشرفت آموزش، مقادیر تعیین داده اند که در حین آموزش، از تعداد وزنهایی که آزمایشات نشان داده اند که در حین آموزش، از تعداد وزنهایی که مقدار آنها بزرگ است کاسته می شود. پدیده فوق را میتوان به این صورت نیز بیان نمود که در ابتدای آموزش همه قسمت های شبکه غیر فعال هستند و بتدربیج و با پیشرفت آموزش بخش هایی از شبکه غیر فعال میگردند و در انتهای بخش کوچکی از شبکه فعل باقی می ماند. در این بخش کوچک از شبکه، واریانس فعالیت واحدها بالا و وزنهای دارای مقادیر بزرگ هستند. با بررسی های انجام شده روی مغز انسان، داشتمندان به این نتیجه رسیده اند که پدیده ای مشابه پدیده فوق در مغز انسان در زمان یادگیری نیز رخ میدهد.<sup>۱</sup>

تذکر ۴: با توجه به نتایج شبیه سازیهای انجام گرفته برای مسائل ذکر شده میتوان نتیجه گرفت که: (۱) از بین سه الگوریتم ارایه شده، الگوریتم ۱ شبکه های کوچکتر را تولید می نماید. (۲) الگوریتم ۲ در

۱- در بررسی هایی که روی مغز انسان به انجام رسیده است مشاهده شده است که الگوی فعالیت گسترده در اوایل فراگیری و سپس کاسته شدن از این فعالیت گسترده پس از مادی شدن فعالیت، هم در مورد فعالیت های فیزیکی نظیر تاب کردن و رانندگی کردن و امثال آن صادق است و هم در خصوص فعالیت های نظری و فکری مانند فراگرفتن اطلاعات تازه و یا خواندن مطالب جدید (نظیر دروس تازه) به منظور به خاطر سبردن آنها [روزنامه اطلاعات، تاریخ دوشنبه ۲۸ تیر ۱۳۷۸ صفحه ۳ ضمیمه].

میکند رصورتیکه ویژگی ۲ برای دسته های {‘X’} و {‘#’} و دسته های {‘+’} و {‘\*’} یکسان می باشد. در شکل ۶ برای مجموعه ویژگی {‘X’, ‘Y’} دو زیر مجموعه {‘X’} و {‘Y’} این خاصیت را دارا می باشند. بنابر این پیدا نمودن ساختار شبکه عصبی سه لایه، تبدیل به پیدا کردن کمترین تعداد زیر مجموعه های مجموعه ویژگیهای ورودی میگردد. بطوریکه هر زیر مجموعه بیشترین اختلاف را برای دسته های دو طرف ابر صفحه ایجاد نماید. مثلا برای شناسایی اعداد لاتین مجموعه ویژگی {‘x<sub>0</sub>, x<sub>1</sub>, x<sub>2</sub>, ..., x<sub>44</sub>} به شبکه اعمال می شود که x<sub>0</sub> دارای مقدار یک ( واحد ورودی به وزن آستانه) و واحد ورودی x<sub>i</sub> مقدار نقطه k ام تصویر را دریافت میکند. فرض کنید H= {h<sub>1</sub>, h<sub>2</sub>, ..., h<sub>M</sub>} کوچکترین مجموعه واحدهای مخفی لازم برای یک دسته بندی صحیح الگوها باشد. مسئله پیدا کردن ساختار بهینه برای شبکه عصبی به مسئله پیدا نمودن M زیر مجموعه با کمترین تعداد اعضا از مجموعه X تبدیل می گردد که k امین زیر مجموعه، وزنهای متصل به واحد مخفی شماره h<sub>k</sub> را نشان می دهد) بطوریکه شبکه تولید شده بتواند دسته بندی با دقت بالا را انجام دهد. مثلا برای شبکه شماره ۲ جدول ۴ ب که توسط الگوریتم یک بدست آمده است، مجموعه واحدهای مخفی تعیین شده برابر {‘4, ۱۲, ۱۳, ۱۸, ۲۷, ۳۸, ۵۹’} میباشد. مجموعه وزنهای ورودی برای واحدهای مخفی شماره ۴, ۱۲, ۱۳, ۱۸, ۲۷, ۳۸, ۵۹ بترتیب عبارتند از: ۳۸, ۱۸, ۶۴, ۴, ۱۳, ۱۸, ۴۰, ۴۰, ۱۶, ۱۸, ۳۰, ۳۸, ۵۶, ۱۸, ۳۸, ۶۱, ۶۱, ۵۶, ۶۴, ۱۸, ۳۸, ۵۹, ۶۱, ۵۶, ۶۴, ۱۸, ۳۸.

مقایسه الگوریتم های پیشنهادی بالا الگوریتم هرس کارنین: در این قسمت الگوریتم های پیشنهادی بالا الگوریتم هرس که توسط کارنین پیشنهاد گردیده است [۵۴] مقایسه میگردد. این الگوریتم به شرح زیر میباشد. در این الگوریتم، ابتدا شبکه بطور کامل آموزش داده می شود و دریافت آموزش، حسابت هروزن (تأثیر منفی حذف یک وزن در تابع هدف شبکه) محاسبه میگردد و وزنهایی که دارای حساسیت کمتری هستند حذف میگردد. در این الگوریتم مقدار حساسیت یک وزن (S<sub>ij</sub>) بصورت زیر محاسبه میگردد.

$$S_{ij} = - \frac{E(w^f) - E(0)}{w^f - 0}$$

که  $w^f$  مقدار نهایی وزن در پایان دوره آموزش، ۰ مقدار وزن پس از حذف وزن  $w^f$ ,  $E(w^f)$  مقدار خطای شبکه در هنگام موجود بودن وزن  $w^f$  و  $E(0)$  مقدار خطای پس از حذف وزن  $w^f$  میباشد. برای محاسبه حساسیت یک وزن میتوان آن وزن را حذف نموده و مقدار خطای پس از نتیجه مقدار حساسیت برای وزن حذف شده را محاسبه نمود. با توجه به اینکه محاسبه مقدار حساسیت برای وزن حذف شده نیاز به تعداد ارایه های مجموعه آموزشی از مرتبه O(W<sup>2</sup>) دارد که W تعداد وزنهای شبکه است. مقدار حساسیت تخمین زده شده بصورت زیر محاسبه میگردد.

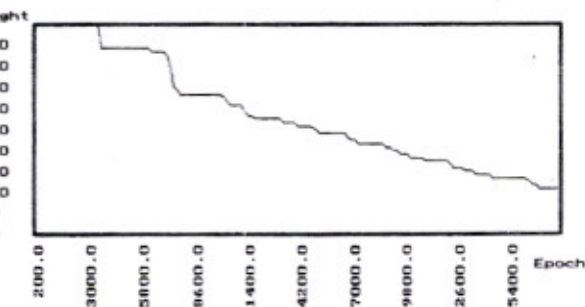
$$\hat{S}_{ij} = - \sum_{n=0}^{N+1} \frac{\partial E}{\partial w_{ij}} \Delta w_{ij} \frac{w_{ij}^f}{w_{ij}^f - w_{ij}}$$

که N تعداد مراحل یک دوره آموزش،  $w_{ij}^f$  مقدار نهایی وزن  $w_{ij}$  و  $w_{ij}$  مقدار اولیه وزن  $w_{ij}$  میباشند. تمام اطلاعات مورد نیاز برای محاسبه فوق در زمان آموزش فراهم می باشد. پس از یک دوره آموزش، برای هر وزن یک مقدار تخمینی از حساسیت محاسبه می شود و وزنی

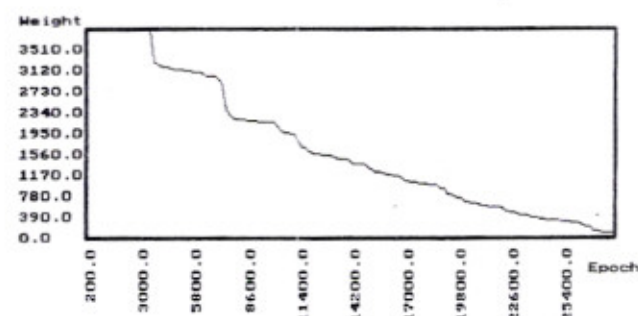
جدول ۱۲: نتیجه شبیه سازی برای مسئله تشخیص اعداد لاتین

شبکه مخفی (آزمایشی)	درصد تشخیص (آموزش)	درصد تشخیص (آزمایش)	تعداد وزنهای لایه مخفی	واحد
۱۰۰	۱۰۰	۵۷	۱۰	۱
۱۰۰	۱۰۰	۱۲۵	۹	۲
۱۰۰	۱۰۰	۱۵۳	۷	۲
۱۰۰	۱۰۰	۹۲	۱۳	۴
۱۰۰	۱۰۰	۹۶	۷	۵
۱۰۰	۱۰۰	۱۸۰	۱۰	۶
۱۰۰	۱۰۰	۱۱۷/۱۶	۹/۲۲	متوسط

شکل های ۲۷ و ۲۸ منحنی تغییرات تعداد واحدهای وزنهای لایه مخفی شبکه بر اساس تکرار ارایه الگونشان داده شده است. شکل ۲۷ منحنی تغییرات تعداد واحدهای لایه مخفی و در شکل ۲۸ منحنی تغییرات تعداد وزنهای لایه مخفی شبکه را برای شبکه شماره ۱ جدول ۱۲ نشان میدهد.



شکل ۲۷: تغییرات تعداد واحدهای لایه مخفی شبکه براساس تکرار ارایه الگو



شکل ۲۸: تغییرات تعداد وزنهای لایه مخفی شبکه براساس تکرار ارایه الگو

باتوجه به جدول ۱۳ و جداول ۴، ۸، ۱۲ و ۱۶ مشاهده می شود که این الگوریتم به تراز الگوریتم های ۲ و ۳ و کمی بدتر از الگوریتم ۱ عمل میکند و تعداد واحدهای مخفی در شبکه های تولید شده بسیار کمتر از تعداد واحدهای مخفی تعیین شده در الگوریتم های ۲ و ۳ و مقداری بیشتر از تعداد واحدهای مخفی تعیین شده تواند الگوریتم ۱ می باشد اما نسبت متوسط تعداد وزن بر واحد مخفی در این الگوریتم بیشتر از تعداد واحدهای دیگر است. تذکر ۸: هر واحد مخفی در شبکه های عصبی سه لایه یک ابر صفحه تولید می کند و این ابر صفحه یک یا چند دسته با قسمتی از یک دسته الگو را از بقیه دسته هایی جدا می کند که مجموعه ویژگیهای آنها تفاوت نسبتاً زیادی داشته باشند (مشابه شکل ۶ خط شماره ۱ با استفاده از ویژگی X دسته های {‘\*’, ‘X’} و {‘#’, ‘+’} را از هم جدا

لازم بذکر است که در آزمایش‌های جدول ۱۵ مقدار نرخ یادگیری برابر ۰/۰ و مقدار ضرب گشتوار برابر صفر در نظر گرفته شده است.

جدول ۱۵: نتیجه شبیه سازی الگوریتم کارنین برای مثال ۲

درصد تشخیص (آزمایشی)	درصد تشخیص (آموزش)	تعداد وزنهای لایه مخفی	واحد مخفي	شبکه
۱۰۰	۱۰۰	۱۵۸	۵۳	۱
۱۰۰	۱۰۰	۱۵۲	۵۱	۲
۱۰۰	۱۰۰	۱۵۷	۵۳	۳
۱۰۰	۱۰۰	۱۳۷	۴۶	۴
۱۰۰	۱۰۰	۱۵۰	۵۰	۵
۱۰۰	۱۰۰	۱۴۷	۴۹	۶
۱۰۰	۱۰۰	۱۵۰/۱	۵۰/۳	متوسط

با توجه به جداول ۲-ب، ۶-ب، ۱۰ و ۱۴ مشاهده می‌شود که تعداد وزنهای لایه مخفی تقریباً ۲۰ برابر تعداد وزنهای تعیین شده توسط الگوریتم ۱، ۲ برابر تعداد وزنهای تعیین شده توسط الگوریتم ۲ و بیشتر از ۲ برابر تعداد وزنهای تعیین شده توسط الگوریتم ۳ می‌باشد. همچنین در شبکه‌های تولید شده توسط الگوریتم هرس کارنین تقریباً همه واحدها دارای ۳ وزن ورودی هستند. مشاهده شده است که برای مسائل ۱ و ۲ در بیشتر موارد الگوریتم کارنین، وزنها را بطریقی هرس می‌نماید که وزنهای هرس شده متواضعاً متعلق به یک واحد مخفی می‌باشند و تا حذف کامل این واحد ادامه پیدا می‌کند(جدول ۱۴ و ۱۵) و بهمین دلیل این الگوریتم در بیشتر موارد برای مسائل ۱ و ۲ شبکه ای با اتصالات محلی را تولید نمی‌نماید.

مسئله تشخیص اعداد چاپی فارسی: برای پیاده سازی این مسئله ۶ شبکه با ۷ واحد ورودی، ۶۰ واحد مخفی و ۱۰ واحد خروجی در نظر گرفته شده است. این شبکه‌ها ابتدا بطور کامل آموزش داده شده و سپس توسط الگوریتم کارنین هرس گردیده اند. پس از حذف یک وزن در شبکه، ۱۰۰ بار مجموعه الگوهای آموزش به شبکه ارایه و شبکه بازآموزی گردیده است و نتایج آن در جدول ۱۶ آورده شده است. برای آزمایش‌های انجام شده مقدار نرخ یادگیری برابر ۰/۰۵ و مقدار ضرب گشتوار برابر صفر می‌باشد.

جدول ۱۶: نتیجه شبیه سازی الگوریتم کارنین برای مثال ۳

درصد تشخیص (آزمایشی)	درصد تشخیص (آموزش)	تعداد وزنهای لایه مخفی	واحد مخفي	شبکه
۹۰	۹۸/۱۲۵	۲۷۵	۵۸	۱
۱۰۰	۹۶/۶۲۵	۱۲۰	۵۸	۲
۹۰	۹۶/۸۷۵	۲۴۰	۵۹	۳
۱۰۰	۹۶/۶۲۵	۱۵۴	۵۶	۴
۱۰۰	۹۸/۱۲۵	۲۱۶	۶۰	۵
۱۰۰	۹۹/۳۷۵	۱۸۰	۶۰	۶
۹۶/۶۶	۹۷/۶۲۵	۱۹۹/۱۶	۵۸/۵	متوسط

با توجه به جداول ۳-ب، ۷-ب، ۱۱ و ۱۶ مشاهده می‌شود که تعداد وزنهای تعیین شده توسط الگوریتم کارنین برای لایه مخفی تقریباً ۱۰

که دارای کمترین حساسیت هست حذف می‌گردد. قابل ذکر است اگر تمام وزنهای خروجی یک واحد حذف گردد آن واحد حذف می‌گردد. اگر همه وزنهای ورودی یک واحد حذف شوند خروجی این واحد دارای مقدار ثابتی می‌شود و میتوان این واحد را حذف نمود و اثر خروجی آنرا در مقدار آستانه واحد های لایه بعد اعمال نمود(شکل ۱۵). لازم بذکر است که در تعامل آزمایش‌های انجام گرفته با استفاده از الگوریتم کارنین ابتدا شبکه بطور کامل آموزش داده شده است بطوریکه قادر به شناسایی کامل مجموعه آموزشی باشد و سپس در مرحله هرس، پس از حذف یک وزن شبکه باز آموزی گردیده است. در مرحله هرس وزنهای ۵۰۰۰ بار مجموعه آموزشی به شبکه ارایه شده است و در انتها شبکه ای را که بهترین ساختار را دارد انتخاب و در جداول ۱۳ تا ۱۶ گزارش شده است. مسئله دسته‌بندی چهار دسته از الگوها: برای پیاده سازی این مسئله ۶ شبکه با ۲ واحد ورودی، ۳۹ واحد مخفی و ۴ واحد خروجی در نظر گرفته شده است. این شبکه‌ها ابتدا بطور کامل آموزش داده شده و سپس توسط الگوریتم کارنین، هرس گردیده اند. پس از حذف وزن با کمترین حساسیت، ۱۰۰ بار مجموعه الگوهای آموزش به شبکه ارایه و شبکه بازآموزی گردیده است و نتایج آن در جدول ۱۴ آورده شده است. مقدار ضرب گشتوار برابر ۰/۰۶ می‌باشد.

جدول ۱۴: نتیجه شبیه سازی الگوریتم کارنین برای مثال ۱

شبکه	واحد مخفي	لایه مخفی	درصد تشخیص (آموزش)	درصد تشخیص (آزمایشی)
۱	۲۸	۸۲	۱۰۰	۱۰۰
۲	۲۷	۷۹	۱۰۰	۱۰۰
۳	۲۹	۸۶	۱۰۰	۱۰۰
۴	۳۱	۹۱	۱۰۰	۱۰۰
۵	۳۲	۹۷	۱۰۰	۱۰۰
۶	۳۲	۹۴	۱۰۰	۱۰۰
متوسط	۳۰	۸۸/۳۲	۱۰۰	۱۰۰

با توجه به جداول ۱-ب، ۵-ب، ۹ و ۱۴ مشاهده می‌شود که تعداد وزنهای تعیین شده توسط الگوریتم کارنین برای لایه مخفی تقریباً ۱۰ برابر تعداد وزنهای تعیین شده توسط الگوریتم ۱، ۲ برابر تعداد وزنهای تعیین شده توسط الگوریتم ۲ و ۳ برابر تعداد وزنهای تعیین شده توسط الگوریتم ۳ می‌باشد که این خود تاییدی بر برتری الگوریتم های پیشنهاد شده می‌باشد. لازم بذکر است که در شبکه‌های تولید شده توسط الگوریتم هرس کارنین تقریباً همه واحدها دارای ۳ وزن ورودی هستند این بدان معناست که این الگوریتم در این مورد شبکه ای با اتصالات محلی را تولید نمی‌کند.

مسئله دسته‌بندی دو دسته از الگوها: برای پیاده سازی این مسئله ۶ شبکه با ۲ واحد ورودی، ۶۰ واحد مخفی و ۲ واحد خروجی دو نظر گرفته شده است. این شبکه‌ها ابتدا بطور کامل آموزش داده شده و سپس توسط الگوریتم کارنین، هرس گردیده اند. پس از حذف یک وزن در شبکه، ۵۰۰ بار مجموعه الگوهای آموزش به شبکه ارایه و شبکه بازآموزی گردیده است و نتایج آن در جدول ۱۵ آورده شده است.

جستجوی عمومی، زمانی کارایی بالای از خودنشان میدهد که فضایی که آنها جستجوی کنندی بزرگ باشد. بهمین دلیل الگوریتمهای پیشنهادشده در این مقاله که مبتنی بر اوتوماتانهای یادگیر طراحی شده‌اند زمانی دارای کارایی بالای هستند که فضای جستجوی آنها (تعداد واحدهای لایه ورودی شبکه) بزرگ باشد. الگوریتمهای پیشنهادی بالا الگوریتم هرس کارنین مقایسه گردیده است و برتری الگوریتمهای پیشنهادی نسبت به این الگوریتم از طریق شبیه‌سازی نشان داده شده است.

### مراجع

- [1] Angeline, P. J., Saunders, G. M., and Pollack, J. B. (1994). Evolutionary Algorithm that Construct Recurrent Neural Networks, IEEE Trans. on Neural Networks, Vol. 5, No. 1, pp. 54-65.
- [2] Arai, M. (1993). Bounds on the Number of Hidden Units in Binary-Valued Three-Layer Neural Networks, Neural Networks, Vol. 6, pp. 855-860.
- [3] Beigy, H. and Meybodi, M. R. (1998). A Fast Method for Determining the Number of Hidden Units in Feedforward Neural Networks, Proc of CSIC-97, Tehran, Iran , pp. 414-420 (In Persian).
- [4] Beigy, H. and Meybodi, M. R. (1998). Optimization of Topology of Neural Networks: A Survey, Technical Reports, Computer Eng. Dept. Amirkabir University of Technology, Tehran, Iran (In Persian).
- [5] Castellano, G., Fanelli, A. M., and Pelillo, M. (1997). A Iterative Pruning Algorithm for Feedforward Neural Networks, IEEE Trans. on Neural Networks, Vol. 8, No. 3, pp. 519-531.
- [6] Fahlman, S. E. and Lebier, C. (1990). The Cascade - Correlation Learning Architecture, Advances in Neural Information Processing System, Vol. II, pp. 524-532.
- [7] Frean, M. (1990). The Upstart: A Method for Constructing and Training Feedforward Neural Networks, Neural Computation, pp. 198-209.
- [8] Hashim, A. A., Amir, S., and Mars, p. (1986). Application of Learning Automata to Data Compression, In Adaptive and Learning Systems, K. S. Narendra (Ed.), New York: Plenum Press, pp. 229-234.
- [9] Hirose, Y., Yamashita, K., and Hijya, S. (1991). Back-Propagation Algorithm Which Varies The Number of Hidden Units, Neural Networks, Vol. 4, No. 1, pp. 61-66.
- [10] Huang, S. C. and Huang, Y. F. (1991). Bounds on the Number Hidden Neurons in Multilayer Perceptrons, IEEE Trans. on Neural Networks, Vol. 2, No. 1, pp. 47-56.
- [11] Kruschke, J. H. (1988). Creating Local and Distributed Bottlenecks in Hidden Layer of Backpropagation Networks, Proc. of Connectionist Models, Summer School, Eds. D. Touretzky, G. Hinton, and T. Sejnowski, pp. 120-126.
- [12] Kruschke, J. H. (1989). Improving Generalization in Backpropagation Networks, Proc. of Int. Joint Conf. on Neural Networks, Vol. I, pp. 443-447.
- [13] Kwok, T. Y. & Yeung, D. Y. (1997). Constructive Algorithms for Structure Learning in Feedforward Neural Networks for Regression Problems, IEEE Trans. on Neural Networks, Vol. 8, No. 3 pp. 630-645.
- [14] Lin, J. H. & Vitter, J. S. (1991). Complexity Results on Learning by Neural Nets, Machine Learning, Vol. 6, pp. 211-230.
- [15] Maniezzo, V. (1994). Genetic Evolution of The Topology and Weight Distribution of Neural Networks, IEEE Trans. on Neural Networks, Vol. 5, No. 1, pp. 39-53.
- [16] Marchand, M., Golea, M., and Rujan, R (1990). A Convergence Theorem for Sequential Learning in Two-Layer Perceptrons, Europhysics Letters 11, pp. 487-492.

برابر تعداد وزنهای تعیین شده توسط الگوریتم ۱، بیشتر از ۲ برابر تعداد وزنهای تعیین شده توسط الگوریتم ۲ و مقداری بیشتر از تعداد وزنهای تعیین شده توسط الگوریتم ۳ می‌باشد. نکته جالب توجه این است که در این مورد شبکه‌های تولید شده توسط الگوریتم هرس کارنین برای مسئله تشخیص اعداد چاپی فارسی و برخلاف مسائل قبل، شبکه‌هایی با اتصالات محلی هستند.

**مسئله تشخیص اعداد لا تین:** برای پیاده‌سازی این مسئله ۶ شبکه با ۶۴ واحد ورودی ۶۰ واحد مخفی و ۱۰ واحد در نظر گرفته شده است. این شبکه‌ها ابتدا بطور کامل آموزش داده شده و سپس توسط الگوریتم کارنین هرس گردیده اند. پس از حذف یک وزن در شبکه، ۵۰۰ بار مجموعه الگوهای آموزش به شبکه ارایه و شبکه بازآموزی گردیده است و نتایج آن در جدول ۱۷ آورده شده است. برای آزمایش‌های جدول ۱۷ مقدار نرخ یادگیری برابر ۰.۰۱ و مقدار ضربی گشتوار برابر صفر می‌باشد.

جدول ۱۷ : نتیجه شبیه‌سازی الگوریتم کارنین برای مثال ۴

شبکه	واحد مخفی	واحد مخفی	تعداد وزنهای (آموزش)	درصد تشخیص (آزمایش)
۱	۶۰	۶۰	۲۸۴۰	۱۰۰
۲	۶۰	۶۰	۲۸۴۲	۱۰۰
۳	۶۰	۶۰	۲۸۴۰	۱۰۰
۴	۶۰	۶۰	۲۸۲۹	۱۰۰
۵	۶۰	۶۰	۲۸۵۰	۱۰۰
۶	۶۰	۶۰	۲۸۴۸	۱۰۰
متوجهه جدول ۱۷ متأهد می‌شود که الگوریتم کارنین تعداد کمی از وزنهای لایه مخفی را حذف نموده است. در هنگام شبیه‌سازی به امامت این شبکه که بدهد می‌باشد، کارایی شبکه بشدت کاهش یافته و شبکه به چوچه قادر به اینکه آموزی نمی‌گردد. همچنین در رسیاری از شبیه‌سازی به امامت این شبکه که بدون اینکه واحد مخفی حذف گردد کاهش زیادی در کارایی شبکه رخ میدهد. شبکه‌های ارایه شده در جدول ۱۷ نماینده شبکه‌های تولید شده توسط الگوریتم کارنین قبلاً از شروع کاهش شدید کارایی می‌باشد. مثال فوق، عدم کارایی الگوریتم هرس کارنین از این مسئله نشان میدهد. الگوریتمهای پیشنهادی روی مسائل متنوعی آزمایش شده اند که نتایج کامل آنها در مرجع [۴۹] آمده است.				

### ۷- نتیجه گیری

در این مقاله سه الگوریتم براساس اوتوماتانهای یادگیر مهاجرت اشیابرا ای تعیین ساختار شبکه‌های عصبی سه لایه ارایه گردیده است. این الگوریتمها تعداد واحدها و تعداد وزنهای لایه مخفی یک شبکه عصبی سه لایه را تعیین می‌کنند. الگوریتمهای پیشنهادی از اوتوماتانهای مهاجرت اشیابا و الگوریتم یادگیری انتشار خطابه عقب برای تعیین ساختار شبکه مستفاده می‌کنند. الگوریتمهای پیشنهادی، شبکه‌هایی با اتصالات محلی که دارای قدرت تعمیم‌بالایی هستند تولید می‌کنند. کارایی الگوریتمهای پیشنهادی از طریق شبیه‌سازی بروی مسائل مختلف نشان داده شده است. اوتوماتانهای یادگیر یعنوان یک ایزاز

- Algorithms, Proc. of Int. Joint Conf. on Neural Networks, Vol. I, pp. 134.
- [38] Yao, X. and Liu, Y. (1997). A New Evolutionary System for Evolving Artificial Neural Networks, IEEE Trans. on Neural Networks, Vol. 8, No. 3, pp. 694-713.
- [39] Yeung, D. Y. (1991). Automatic Determination of Network Size for Supervised Learning, IEEE Int. Joint Conf. on Neural Networks, pp. 158-164.
- [40] Yu, X. H. (1992). Can Backpropagation Error Surface Not Have Local Minima, IEEE Trans. on Neural Networks, Vol. 3, No. 6, pp. 1019-1021.
- [41] Lippman, R. P. (1987). An Introduction to Computing with Neural Nets, IEEE ASSP Mag., Vol. 4, pp. 4-22.
- [42] Beigy, H. and Meybodi, M. R. (1999), Graph Isomorphism Using Learning Automata, Technical Reports, Computer Eng. Dept. Amirkabir University of Technology, Tehran, Iran (In Persian).
- [43] Beigy, H. and Meybodi, M. R. (1999), Optimization of Topology of Neural Networks Using Learning Automata", Proc. of 4th Annual Int. Computer Society of Iran Computer Conf. CSICC-98, Tehran, Iran, pp. 417-428 (In Persian).
- [44] Meybodi, M. R. and Lakshmivarhan, S. (1982), Optimality of a General Class of Learning Algorithm, Information Science, Vol. 28, pp. 1-20.
- [45] Meybodi, M. R. and Lakshmivarhan, S. (1984), On a Class of Learning Algorithms which have a Symmetric Behavior Under Success and Failure, Springer Verlag Lecture Notes in Statistics, pp. 145-155.
- [46] Meybodi, M. R. (1987), Results on Strongly Absolutely Expedient Learning Automata, Proc. of OU Inference Conf. 86, ed. D. R. Mootes and R. Butrick, Athens, Ohio: Ohio University Press, pp. 197-204.
- [47] Lakshmivarahan, S. (1981), Learning Algorithms: Theory and Applications, New York, Springer-verlag.
- [48] Dastpak, V. (1992), Automatic Recognition of Farsi Printed Letters, Ms. Thesis, Computer Eng. Dept. Amirkabir University of Technology, Tehran, Iran (In Persian).
- [49] Meybodi, M. R. and Beigy, H. (1999), Neural Network Engineering Using Learning Automata: Determination of Desired Size for Three Layer Feedforward Neural Network, Technical Reports, Computer Eng. Dept. Amirkabir University of Technology, Tehran, Iran (In Persian).
- [50] Judd, J. S. (1990), Neural Network Design and the Complexity of Learning, Cambridge, MA: MIT Press.
- [51] Frasconi, P., Gori, M. and Tesi, A. (1992), Successes and Failures of Backpropagation: A Theoretical Investigation, , Technical Reports, Dipartimento di Sistemi e Information, Universita di Firenze, Firenze, Italy.
- [52] Hush, D. R. and Horne, B. G., (1993), Progress In Supervised Neural Networks, IEEE Signal Processing Magazine, Jan. 1993, pp. 8-39.
- [53] Schalkoff, R. J. (1992), Pattern Recognition: Statistical, Structural and Neural Approaches, John Wiley, New York.
- [54] Karlin, E. D. (1990), A Simple Procedure for Pruning Backpropagation Trained Neural Networks, IEEE Trans. on Neural Networks, Vol. 1, No. 2, pp. 239-242.
- [55] Ji, C., Snapp, R. R., and Psalatis (1990), Generalizing Smoothness Constraints from Discrete Samples, Neural Computation, Vol. 2, No. 2, pp. 188-197.
- [17] Mars, P., Chen, J. R., and Nambiar, R. (1998). Learning Algorithms: Theory and Application in Signal Processing, Control, and Communications, CRC press, New York.
- [18] Mars, P. and Narendra, K. S., and Chrystall, M. (1983). Learning Automata Control of Computer Communication Networks, Proc. of Third Yale Workshop on Applications of Adaptive Systems Theory, Yale University.
- [19] Meltsner, M., Shoham, M., and Manevitz, L. M. (1996). Approximating Function by Neural Networks: A Constructive Solution in the Uniform Norm, Neural Networks, Vol 9, No. 6, pp. 965-978.
- [20] Meybodi, M. R. and Beigy, H. (1998). New Class of Learning Automata Based Scheme for Adaptation of Backpropagation Algorithm Parameters, Proc. of EUFIT-98, Achen, Germany, pp. 339-344.
- [21] Meybodi, M. R. and Lakshmivarhan, S. (1983). A Learning Approach to Priority Assignment in a Two Class M/M/1 Queuing System with Unknown Parameters, Proc. of Third Yale Workshop on Applications of Adaptive Systems Theory, Yale University, pp. 106-109.
- [22] Mezard, M. and Nadal, J. P. (1989). Learning in Feedforward Neural Networks: The Tiling Algorithm, Journal of Physics, pp. 1285-1296.
- [23] Minor, J. M. (1993). Parity With Two Layer Feedforward Nets, Neural Networks, Vol. 6, No. 5, pp. 705- 707.
- [24] Nabhan, T. M. and Zomaya, A. Y. (1994), Toward Neural Networks Structures for Function Appriximation, Neural Networks, Vol. 7, No. 1, pp. 89-99.
- [25] Narendra, K. S. and Thathachar, M. A. L. (1989). Learning Automata : An Introduction, Prentice-hall, Englewood cliffs.
- [26] Oommen, B. J. and Ma, D. C. Y.(1988). Deterministic Learning Automata Solutions to the Equipartitioning Problem, IEEE Trans. on Computers, No. 37, No. 1, pp. 2-13.
- [27] Oommen, B. J., Valiveti, R. S., and Zgierski, J. R. (1991). An Adaptive Learning Solution to the Keyboard Optimization Problem, IEEE Trans. on Systems, Man, and Cybernetics, Vol. 21, No. 6, pp. 1608-1618.
- [28] Oommen, B. J. and Croix, E. V. de St. (1996). Graph Partitioning Using Learning Automata, IEEE Trans. on Computers, No. 45, No. 2, pp. 195-208.
- [29] Rumelhart, D. E., Hinton, G. E., and Williams, R. J.(1986). Learning Internal Representations by Error Backpropagation, In Parallel distributed processing, Cambridge, MA: MIT Press.
- [30] Reed, R. (1993). Prunning Algorithms - A Survey, IEEE Trans. on Neural Networks, Vol. 4, No. 5, pp. 740-747.
- [31] Sietsma, J. and Dow, R. J. F. (1991). Creating Artificial Neural Networks that Generalize, Neural Networks, Vol. 4, No. 1, pp. 67-79.
- [32] Sirat, J. A. and Nadal, J. P. (1990). Neural Trees: A New Tool for Classification, Preprint, Laboratories d'Electronique, Philips, Limeil Brevannes, France.
- [33] Schaffer, J. D., Whitley, D., and Eshelman, L. J. (1992). Combinations of genetic algorithms and neural networks: A Survey of the state of the art, IEEE Proc. COGANN-92, pp. 1-37.
- [34] Sperduti, A. and Starita, A. (1993). Speed Up Learning and Network Optimization with Extended Backpropagation, Neural Networks, Vol. 6, pp. 365-383.
- [35] Meguro, S. and Tateishi, M. (1997). Capabilities of a Four-Layered Feedforward Neural Network: Four Layers Versus Three, IEEE Trans. on Neural Networks, Vol. 8, No. 2; pp. 251-255.
- [36] Thathachar, M. A. L. and Sastry, P. S. (1987). Learning Optimal Discriminant Functions Through a Cooperative Game of Automata, IEEE Trans. Syst., Man and Cybern., Vol. SMC-27, pp.73-85.
- [37] Whitley, D. and Bogart, C. (1990). The Evolution of Connectivity: Pruning Neural Networks Using Genetic

بهشتی  
دانشگاه

# مجموعه مقالات

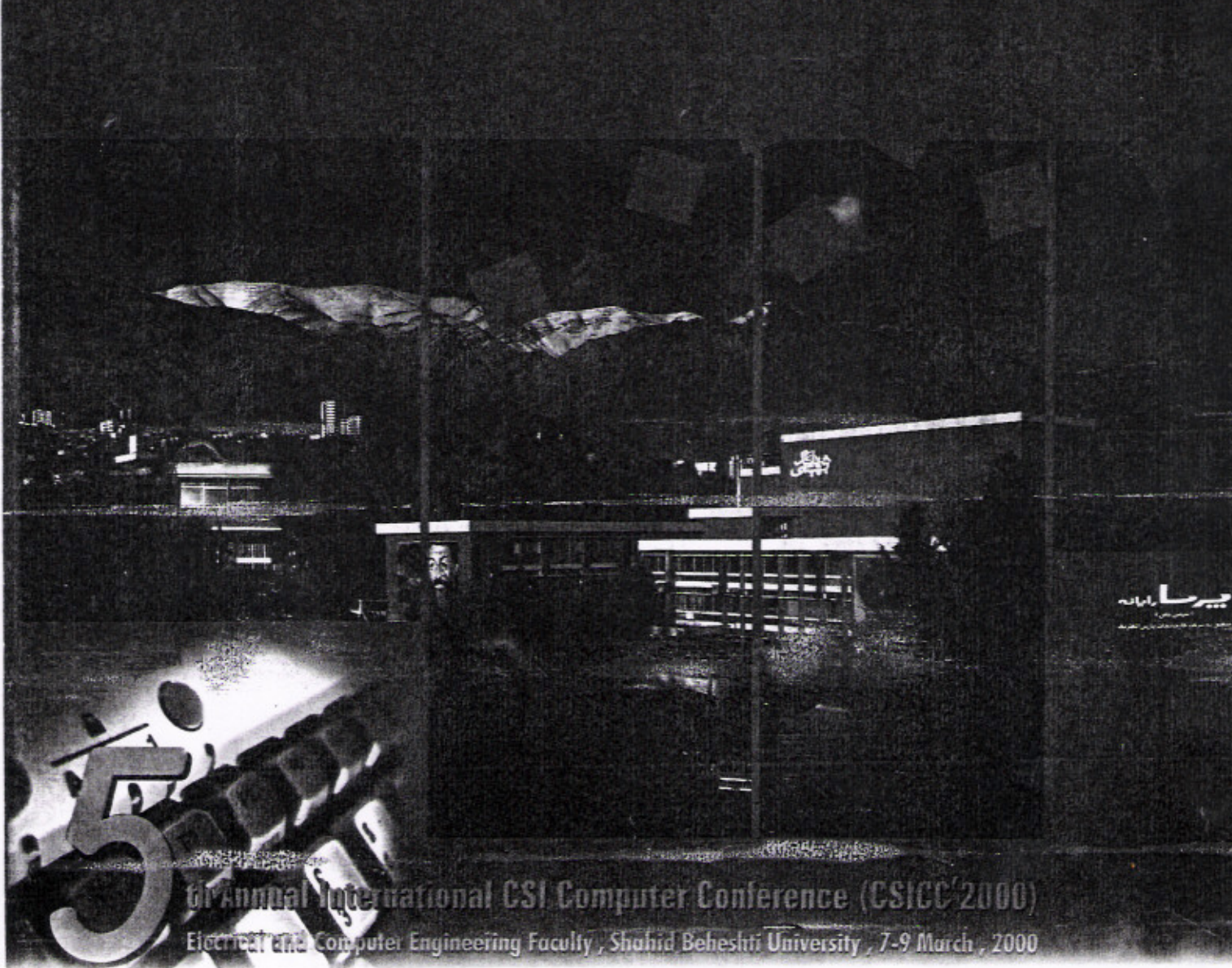
پنجمین کنفرانس بین المللی سالانه

انجمن کامپیوتر ایران

دانشکده مهندسی برق و کامپیوتر

دانشگاه شهید بهشتی

۱۳۷۸ اسفند ۱۹ الی ۲۰



5th Annual International CSI Computer Conference (CSICC'2000)

Electrical and Computer Engineering Faculty, Shahid Beheshti University, 7-9 March, 2000